

Andreas Koch
FG Eingebettete Systeme und ihre Anwendungen



Material



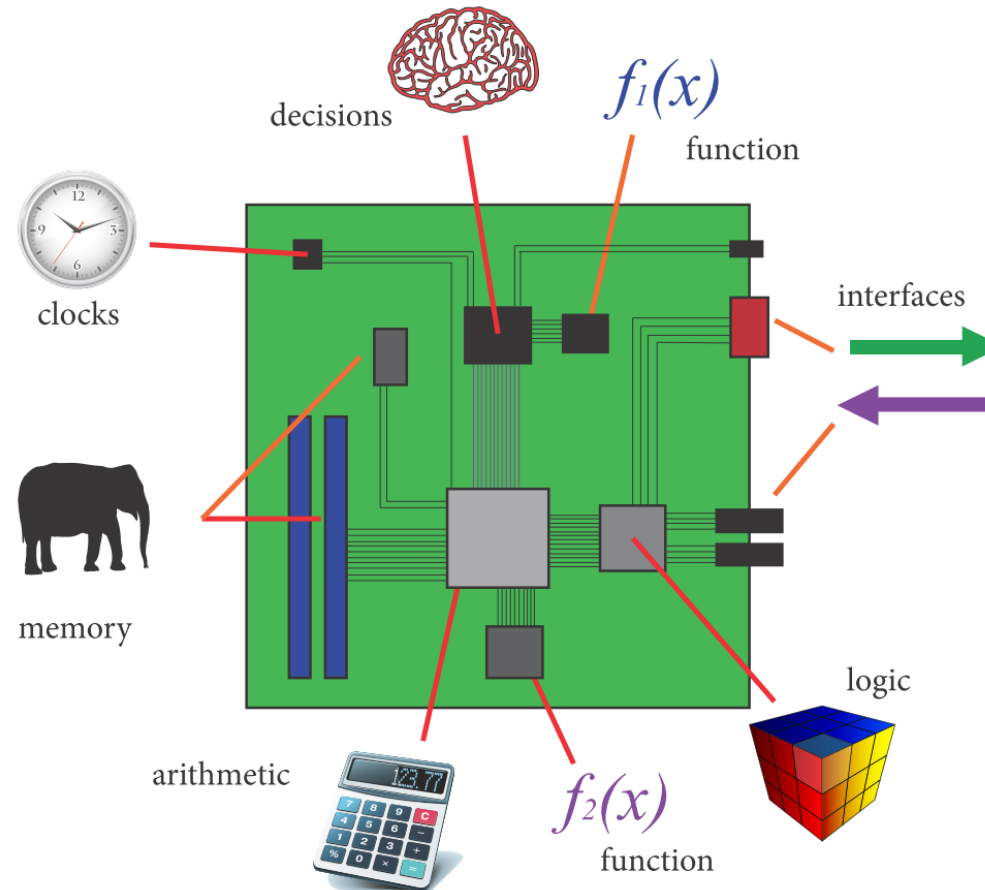
- Vorlesungsfolien basierend auf
The Zynq Book
von Crockett/Elliot/Enderwitz/Stewart
Strathclyde Academic Media 2014
- Frei verfügbar als Download von
<http://www.zynqbook.com>
- Daraus auch die meisten Abbildungen in diesem Kapitel
- Weitere Abbildungen aus Dokumentation der Hersteller Xilinx und ARM

Rechnersystem auf Leiterplatte

System-on-Board



TECHNISCHE
UNIVERSITÄT
DARMSTADT

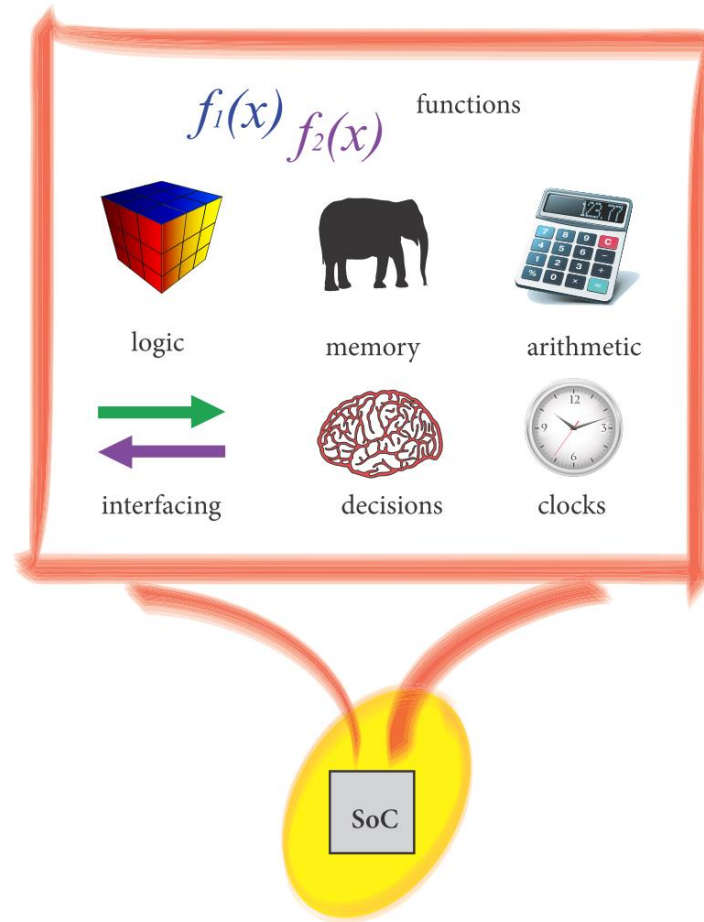


Rechnersystem auf Chip

System-on-Chip



TECHNISCHE
UNIVERSITÄT
DARMSTADT

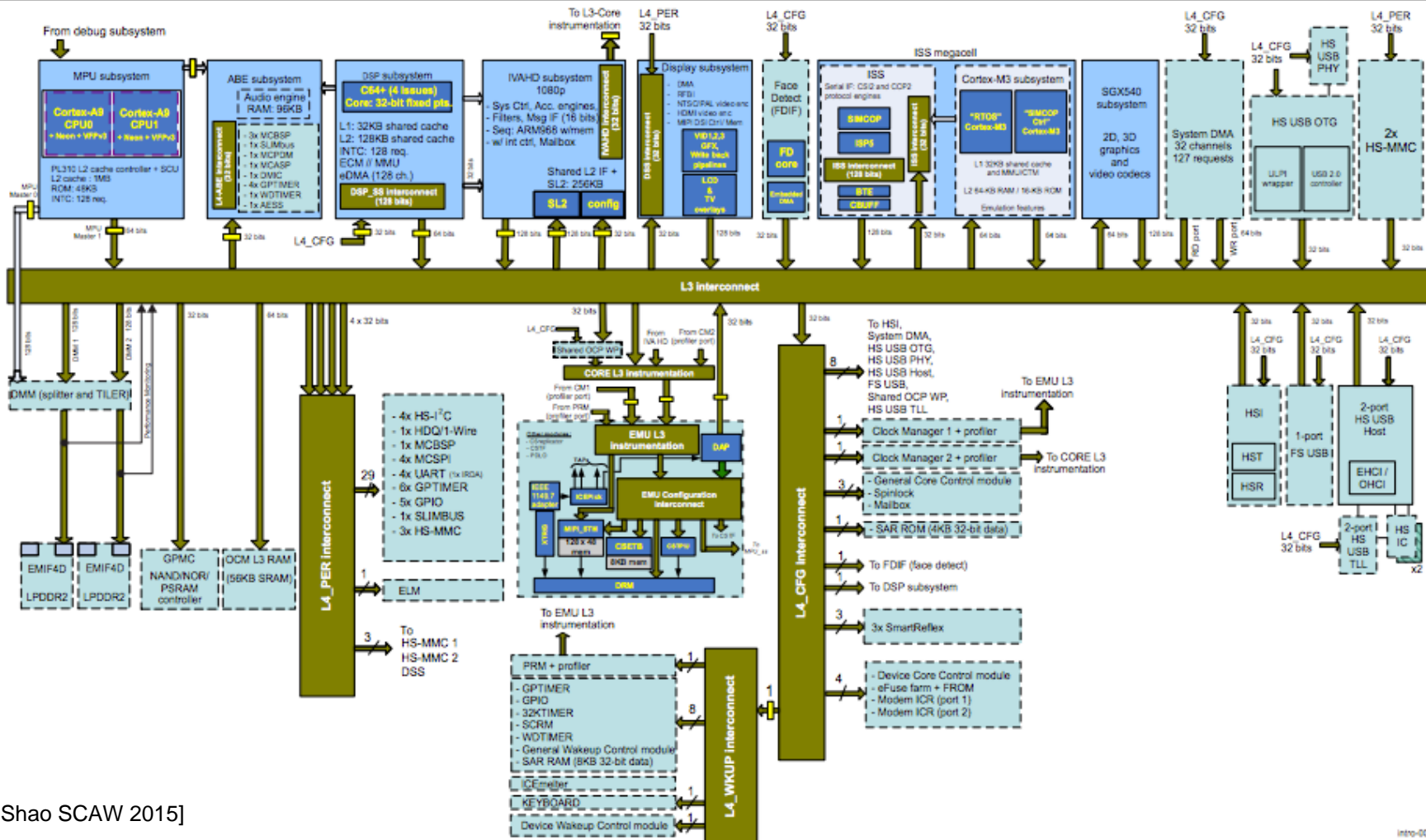


Modernes System-on-Chip

Texas Instruments OMAP 4



TECHNISCHE
UNIVERSITÄT
DARMSTADT



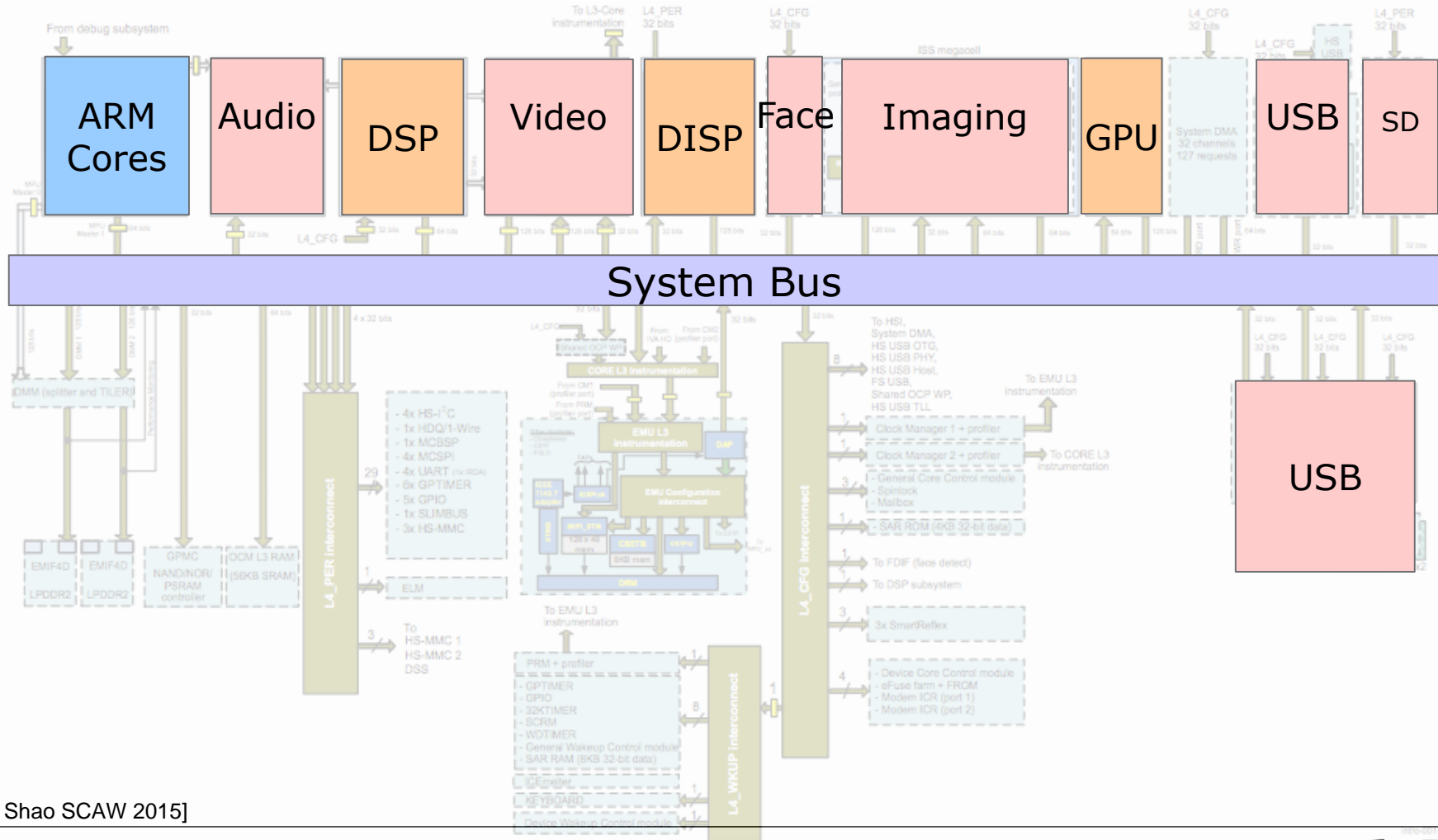
[Y. Shao SCAW 2015]

Modernes System-on-Chip

Wesentliche Komponenten



TECHNISCHE
UNIVERSITÄT
DARMSTADT



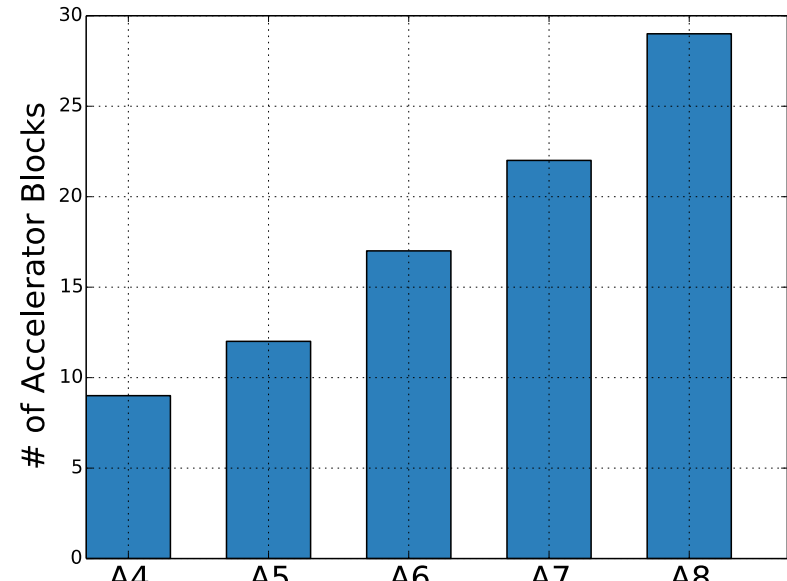
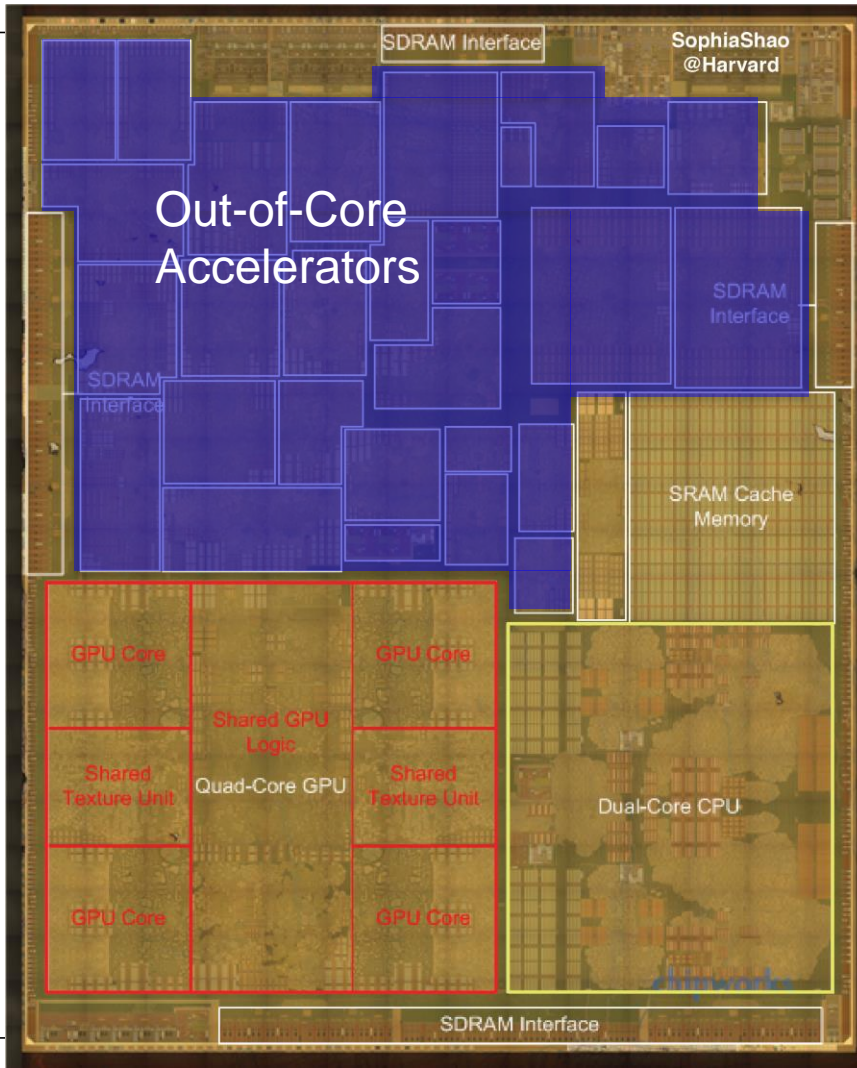
[Y. Shao SCAW 2015]

Weiteres Beispiel: Apple A8 SoC

Diverse spezialisierte Recheneinheiten



TECHNISCHE
UNIVERSITÄT
DARMSTADT



Maltiel Consulting
estimates

Shao (Harvard)
estimates

[Die photo from Chipworks]

[Accelerators annotated by
Sophia Shao @ Harvard]

Rekonfigurierbares System-on-Chip



- System-on-Chip ist nützlich
- Problem
 - Genau welche Komponenten wie integrieren?
 - Unterschiedliche Nutzer haben unterschiedliche Anforderungen
 - Ein eigener Chip je Anforderungsprofil ist in der Regel zu teuer
 - Hohe Kosten der ASIC-Fertigung
 - Häufig nur geringe Stückzahlen
- Idee
 - Rekonfigurierbares System-on-Chip
 - Kombiniert
 - Feste Teile, hoffentlich breitflächig einsetzbar
 - Variable rekonfigurierbare Teile für Erfüllen spezieller Anforderungen
 - Damit größere Anzahlen von breitflächig einsetzbaren Chips herstellbar



TECHNISCHE
UNIVERSITÄT
DARMSTADT

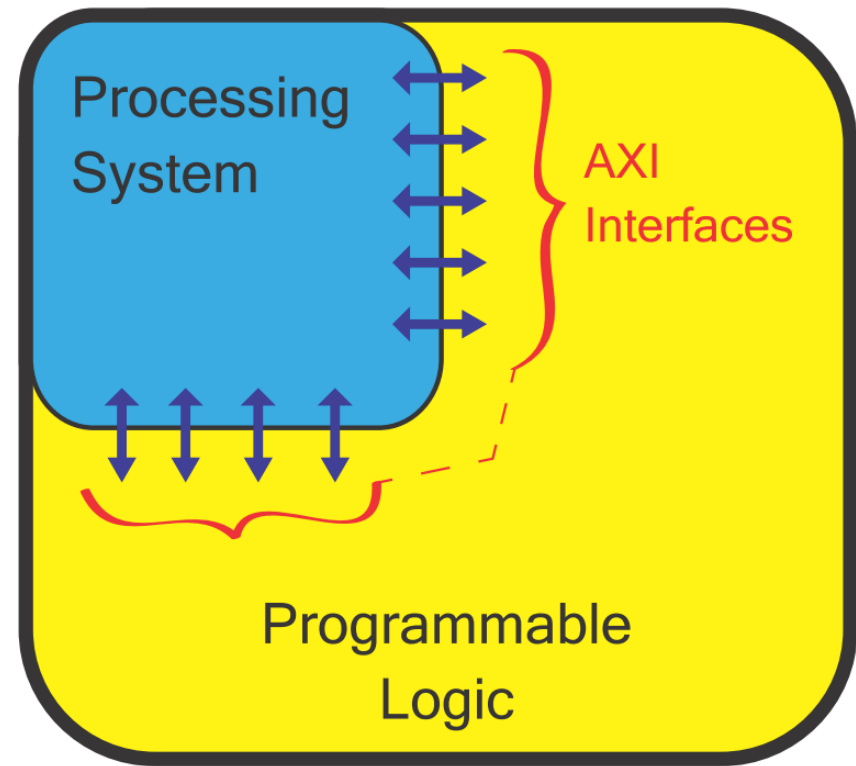
XILINX ZYNQ 7000 RSOC

Rekonfigurierbares System-on-Chip

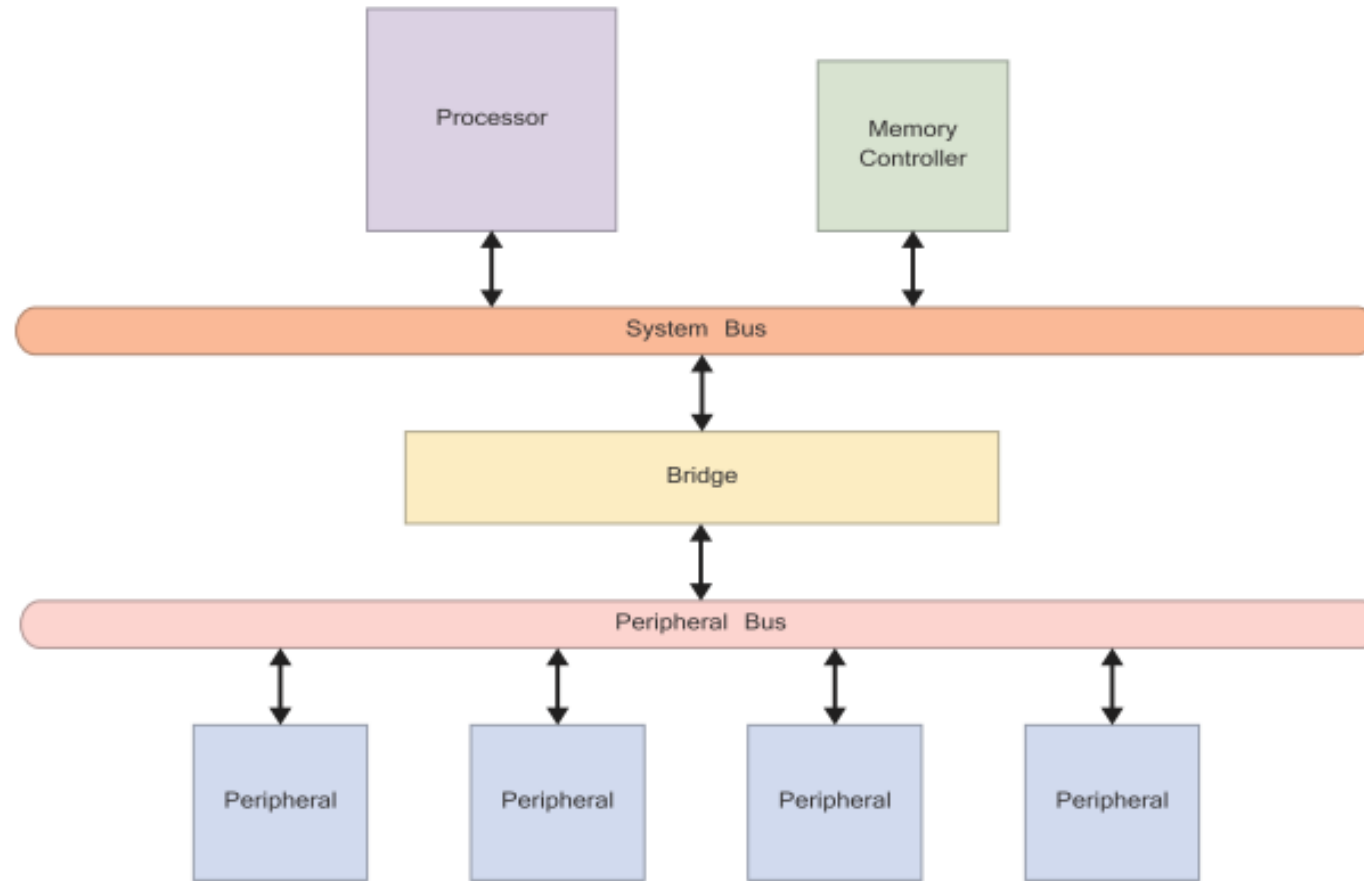


- *Reconfigurable System-on-Chip (rSoC)*

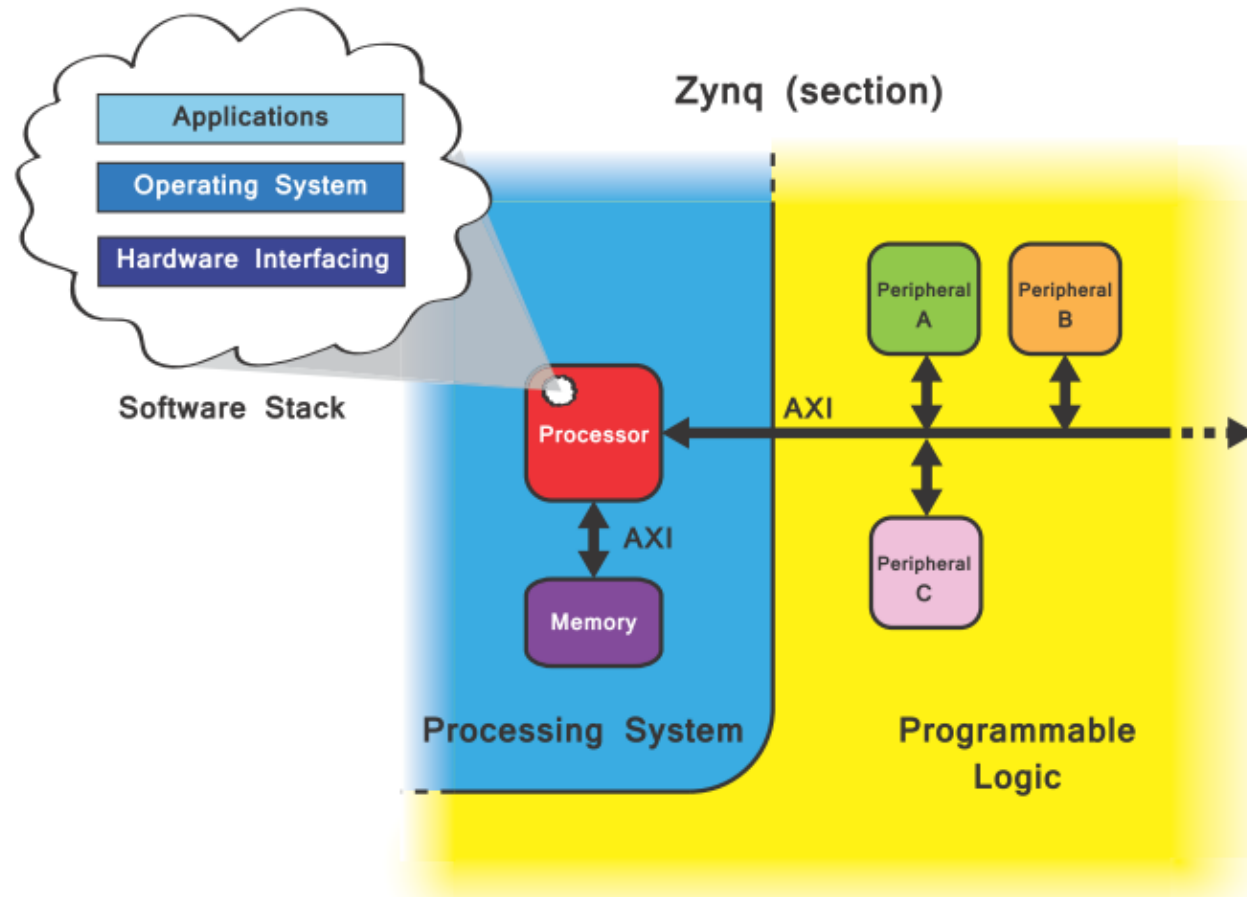
- Von verschiedenen Herstellern angeboten
 - Xilinx Zynq 7000 und UltraScale+
 - Altera Cyclone / Arria / Stratix
 - Microsemi SmartFusion2
 - ...



System-on-Chip: Basisarchitektur

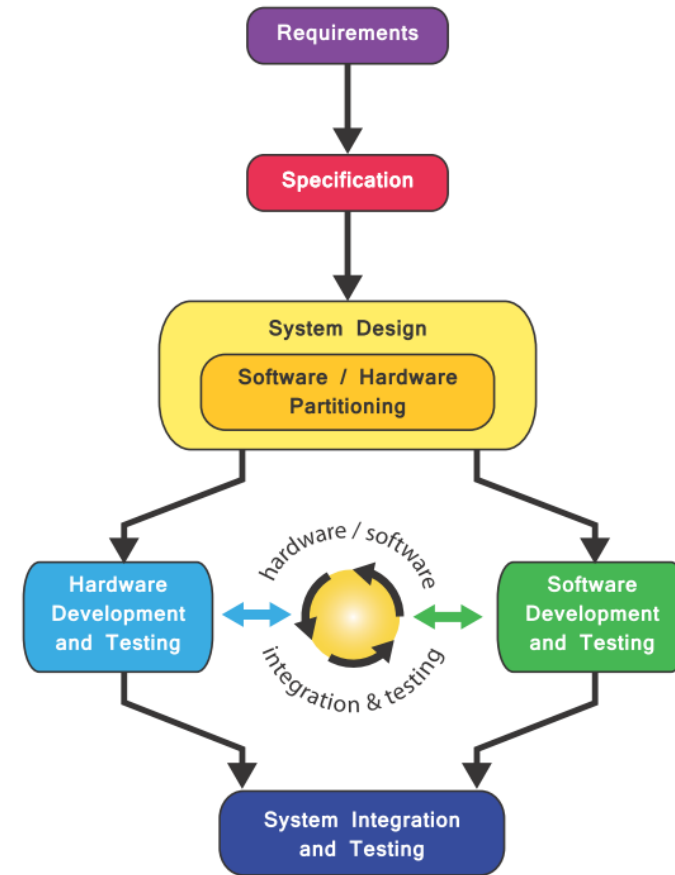


Basisarchitektur auf rSoC abgebildet

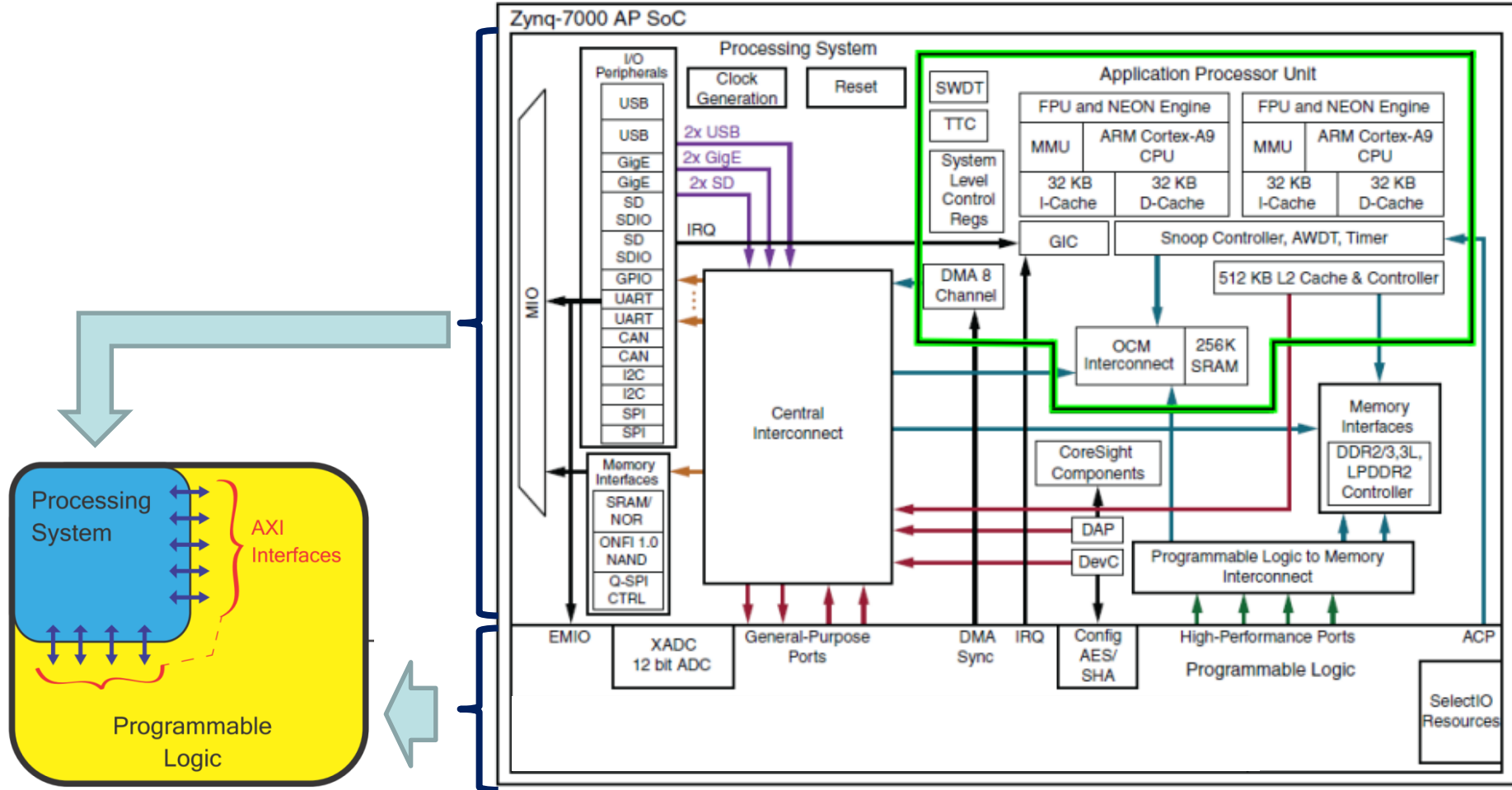


Entwicklung für rSoC

- Umfaßt Schritte der
 - Hardware-Entwicklung
 - Software-Entwicklung
- Häufig problematisch
 - Integration von HW/SW-Komponenten
 - Debugging über HW/SW-Grenze hinweg



Zynq 7000 rSoC Architektur



DS190_01_030713

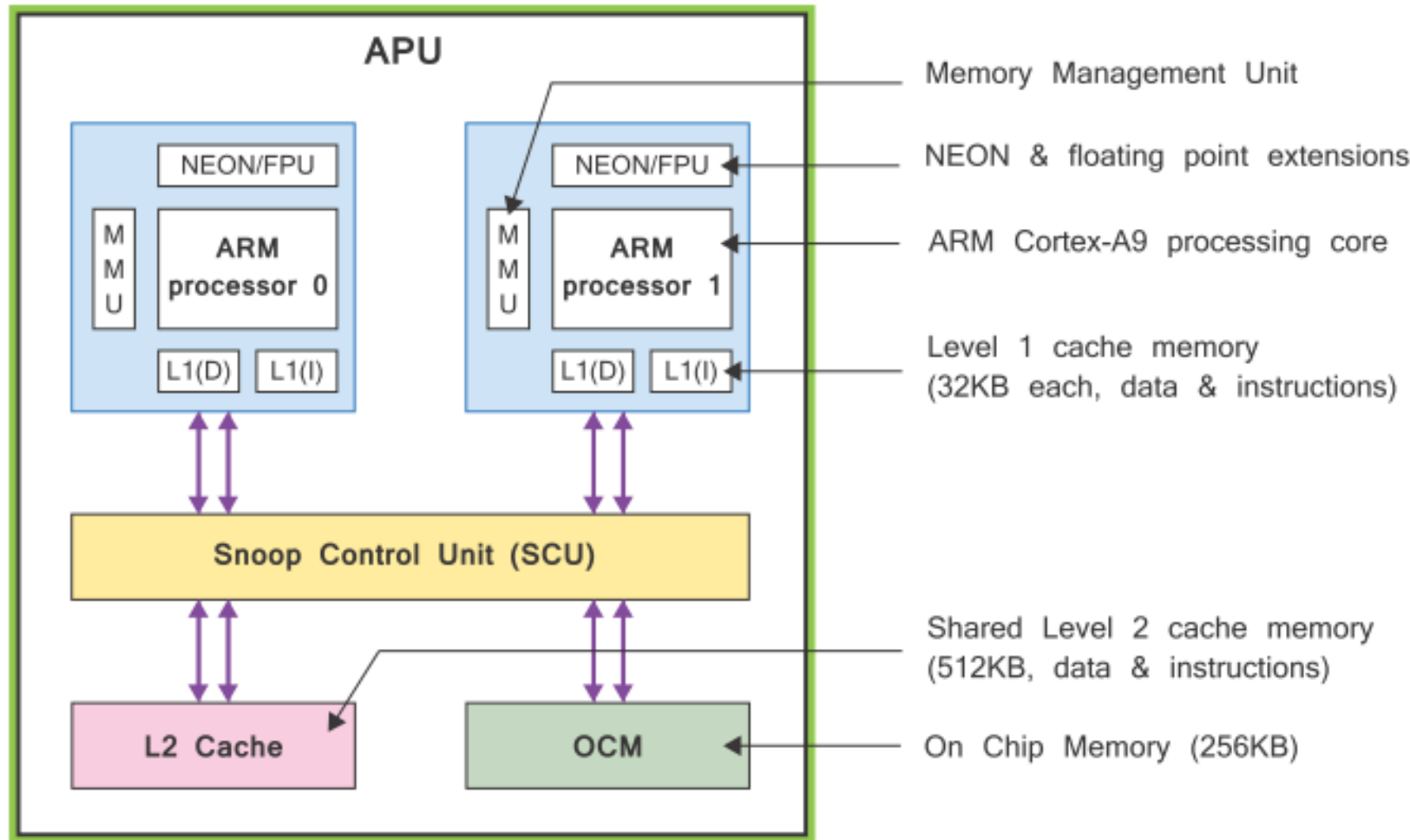
© Xilinx

Software-Programmierbare Prozessoren

Application Processing Unit



TECHNISCHE
UNIVERSITÄT
DARMSTADT



ARM Cortex-A9 Prozessorkern

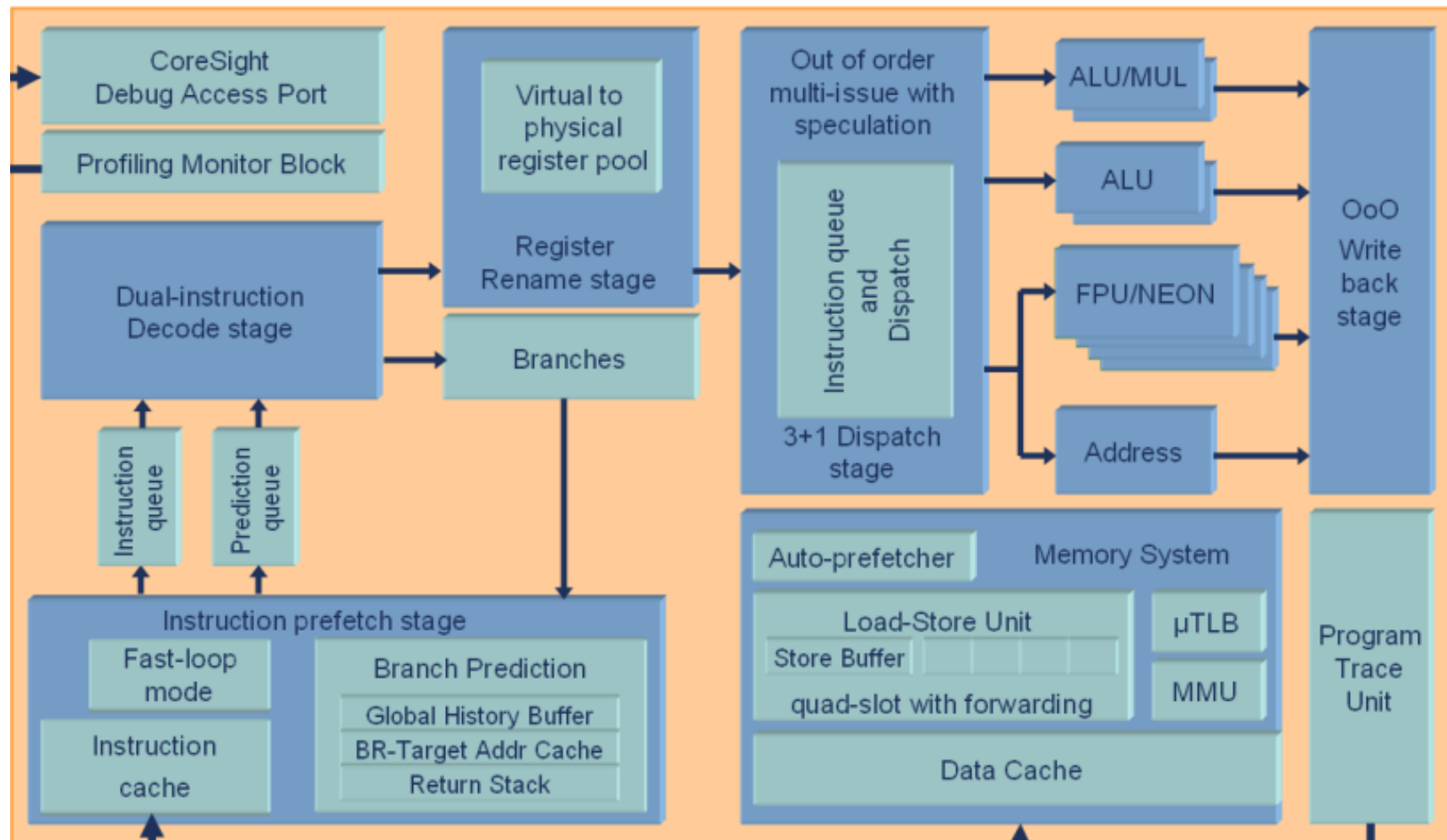


TECHNISCHE
UNIVERSITÄT
DARMSTADT

- Superskalar out-of-order
- Holt zwei Instruktionen je Takt
- Kann je Takt bis zu vier Instruktionen ausführen
 - ALU/MUL
 - ALU
 - FPU/SIMD
 - Load-Store
- Mehr ILP durch (→ TGDI)
 - Umbenennen von Registern (*renaming*)
 - Dynamisches Vorziehen von unabhängigen Instruktionen (*out-of-order execution*)

Interner Aufbau

8...11 Pipeline Stufen aufgeteilt in 7 Phasen: FDRIEMW



Instruction Fetch

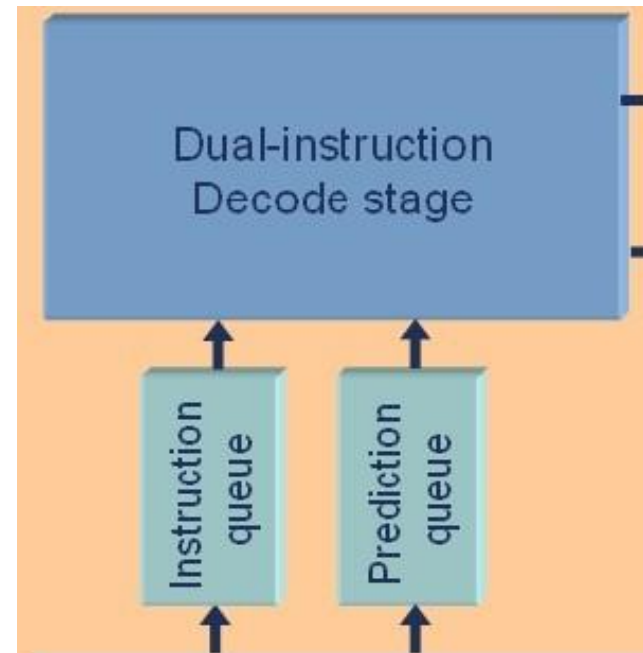


- Instruction Cache (I\$): 16 KB, **32 KB (im Zynq 7000)**, 64 KB
- Sprungvorhersage
 - Branch Target Address Cache
 - 256 Einträge mit Zieladressen für Taken/Untaken; 2b Vorhersage (strongly/weakly taken/not taken)
 - Global History Buffer: 4096 Einträge, je 2b (strongly/weakly taken/not taken)
 - Return Address Stack: 8 Einträge
- Fast-Loop Mode
 - Schleifen < 64 B können oftmals ohne I\$-Zugriffe ausgeführt werden, spart Energie

Instruktionsdekodierung



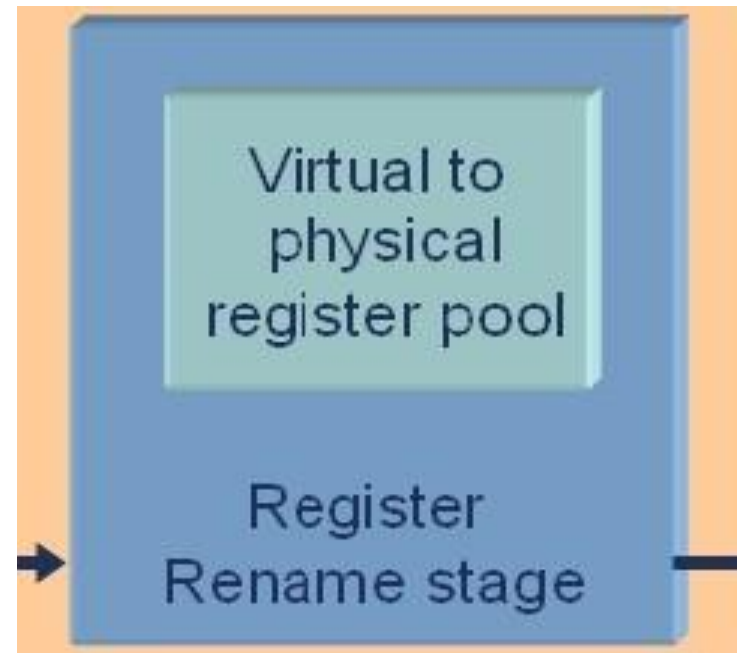
- Kann bis zu zwei Instruktionen je Takt dekodieren



Umbenennen von Registern



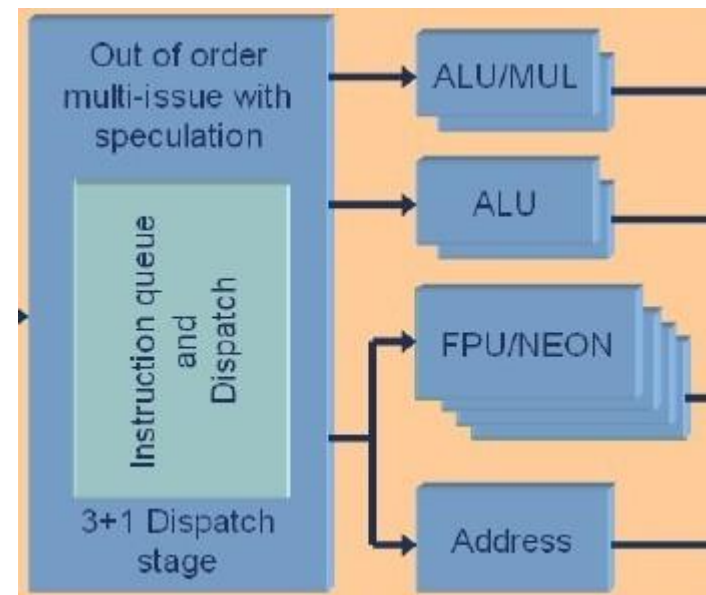
- Zum Auflösen von Abhängigkeiten
- Übersetzt virtuelle Registernamen in physikalische Register
 - $\#_{\text{phys.Reg}} > \#_{\text{virt.Reg}}$
- Beispiel kommt noch ...



Instruktionen ausgeben



- Akzeptiert zwei dekodierte Instruktionen je Takt
- Kann bis zu vier Instruktionen an Ausführungseinheiten ausgeben (*issue* oder *dispatch*)
- Dabei umsortieren von Instruktionen
- Beispiel kommt noch ...



Renaming und OoO-Ausführung

MIPS-Beispiel aus TGDI



TECHNISCHE
UNIVERSITÄT
DARMSTADT

lw \$t0, 40(\$s0)

add \$t1, \$t0, \$s1

sub \$t0, \$s2, \$s3

and \$t2, \$s4, \$t0

or \$t3, \$s5, \$s6

sw \$s7, 80(\$t3)

- Im Beispiel-MIPS: 2 Takte Latenz für Load

Renaming und OoO-Ausführung

MIPS-Beispiel aus TGDI



TECHNISCHE
UNIVERSITÄT
DARMSTADT

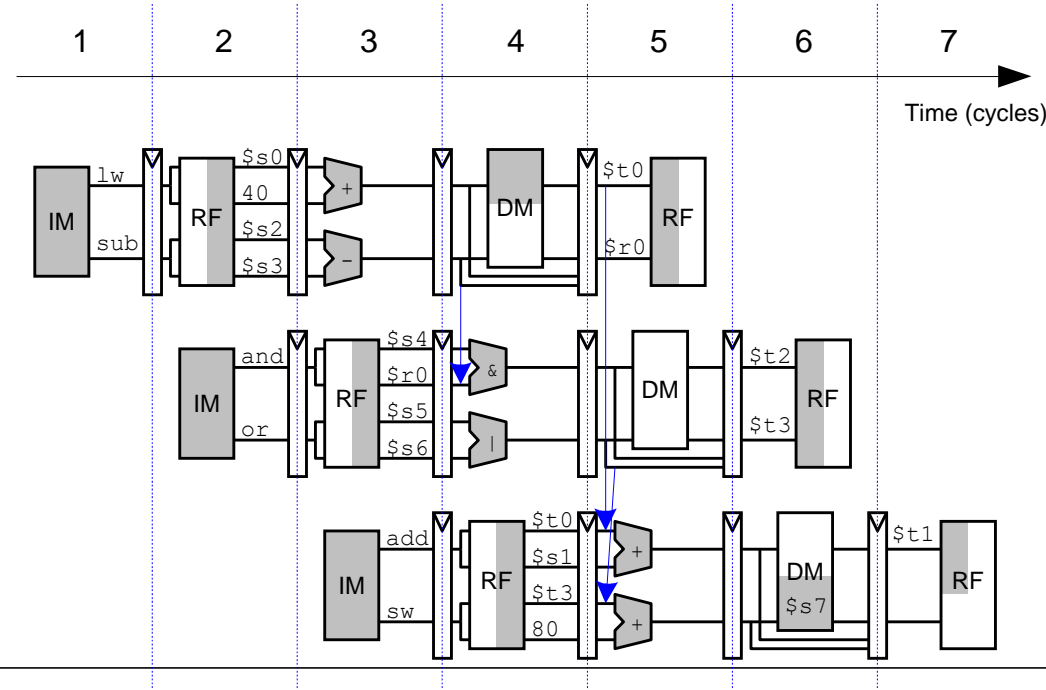
```

lw $t0, 40($s0)
add $t1, $t0, $s1
sub $t0, $s2, $s3
and $t2, $s4, $t0
or $t3, $s5, $s6
sw $s7, 80($t3)

```

Idealer IPC-Wert: 2,0
Erreichter IPC-Wert: 6/3 = 2,0

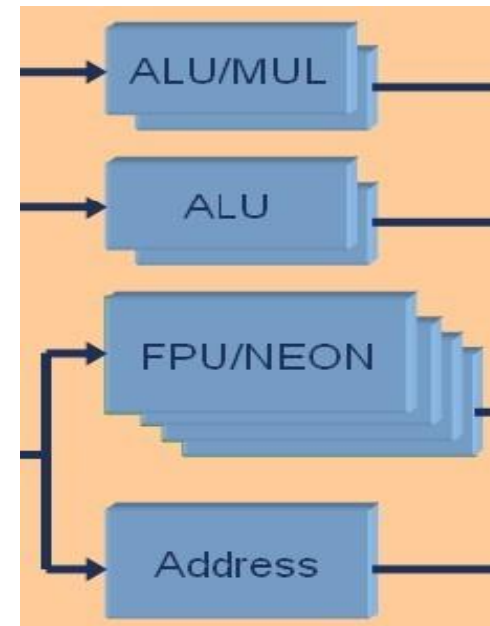
lw \$t0, 40(\$s0)
 sub \$r0, \$s2, \$s3
 2 Takte RAW
 and \$t2, \$s4, \$r0
 or \$t3, \$s5, \$s6
 RAW
 add \$t1, \$t0, \$s1
 sw \$s7, 80(\$t3)



Ausführungseinheiten



- Für unterschiedliche Arten von Instruktionen
 - Beispiel
 - Zwei Additionen je Takt
 - Aber nur eine Multiplikation je Takt
- ALUs haben eine Latenz von 1..3 Takten
 - Länger bei Shift/Rotate
 - **ADD r0, r1, r2** (1 Takt)
 - **ADD r0, r1, r2 LSL #2** (2 Takte)
 - $r0 = r1 + (r2 \ll 2)$
 - **ADD r0, r1, r2 LSL r3** (3 Takte)
 - $r0 = r1 + (r2 \ll r3)$
- NEON hat Latenz von 1 ... 32 Takten
 - 1 Takt: VABS
 - 32 Takte: VSQRT



SIMD Rechnungen mit NEON

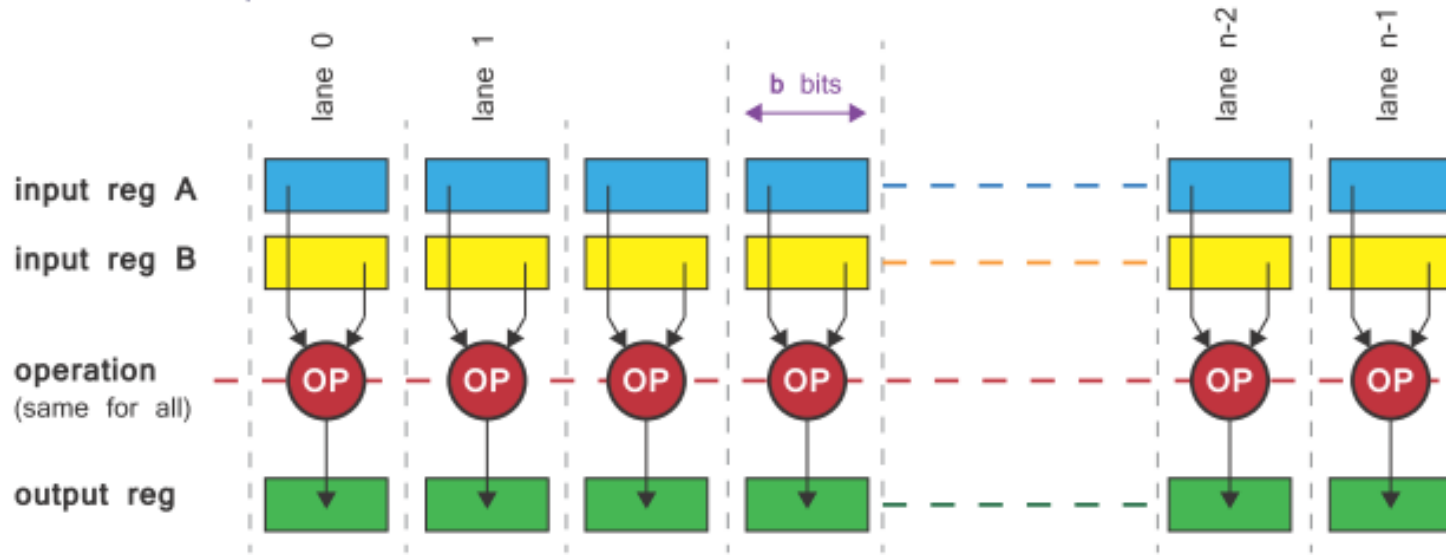
Vergleichbar zu SSE auf x86 CPUs



TECHNISCHE
UNIVERSITÄT
DARMSTADT

- *Single Instruction Multiple Data*

- Die gleiche Operation wird auf N Datenelementen gleichzeitig ausgeführt



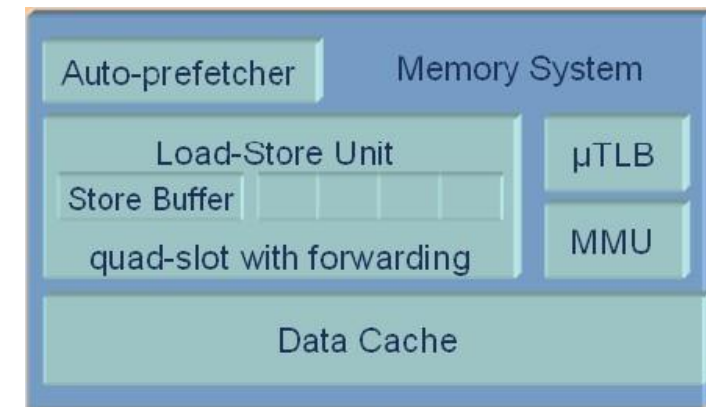
- Skalare Datentypen: 8b/16b/32b/64b Integer, 32b Single-Precision Floating Point
 - Vektoroperationen sind insgesamt 128b breit, damit $N=2\dots 16$
- Wird aber auch als normale FPU (auf skalaren Daten) genutzt

Adressübersetzung

- Zweistufiges Verfahren
 - Micro TLB: 1 Takt Latenz
 - TLB in MMU: Variable Latenz

Prefetching

- Beobachtet Speicherzugriffsverhalten des Prozessors
- Holt schonmal „vorweg“ Daten in L1-D\$
- Beobachtet dabei bis zu acht unabhängige Datenströme



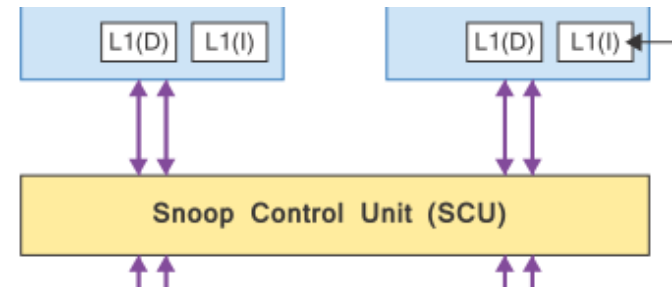
Vier aktive Speicheranfragen im D\$

- Store-to-Load Forwarding

Cache-Kohärenz



- Problem
 - Prozessorkerne haben eigene L1-Caches
 - Greifen aber auf gemeinsamen Hauptspeicher zu
 - ... und lagern Daten in ihrem lokalen L1-Cache zwischen
 - Auch eventuell veränderte!
- Prozessorkerne müssen sich austauschen darüber, wo aktueller Wert liegt
 - ... noch im Hauptspeicher
 - ... schon in einem Cache (L1 oder L2)
 - ... bereits in aktualisierter Form in einem Cache
- Snoop Control Unit
 - Überwacht die Speicherzugriffe aller Prozessorkerne (und der Programmable Logic ...)
 - Gibt aktuellen Wert weiter
 - Protokoll: Modified/Exclusive/Shared/Invalid (MESI)

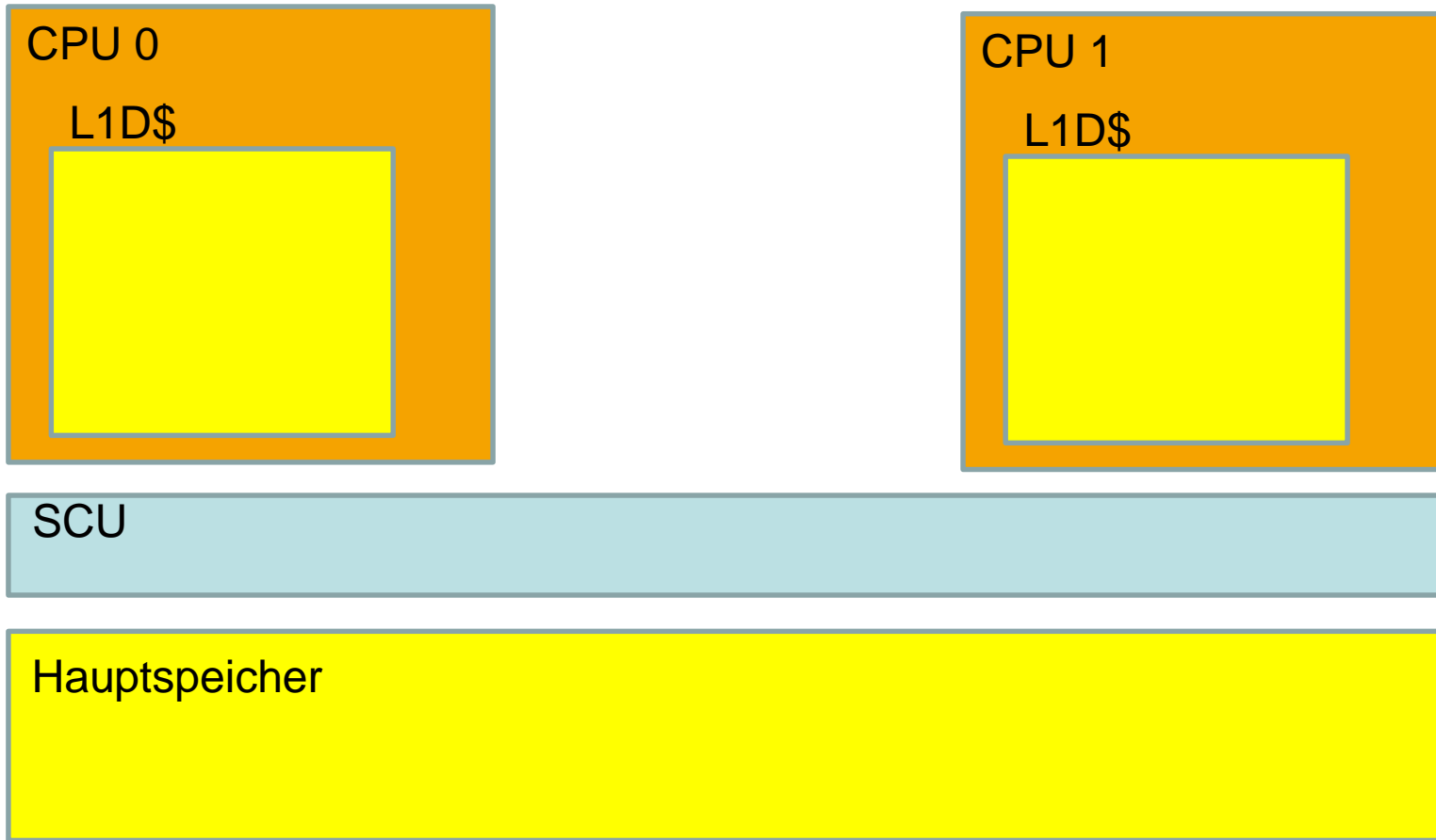


Beispiel: Cache-Kohärenz

Hier stark vereinfacht und L2\$ ignoriert

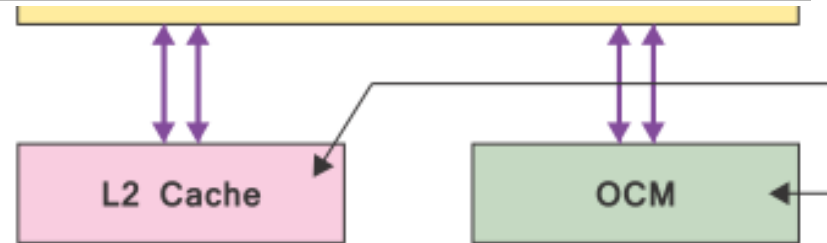


TECHNISCHE
UNIVERSITÄT
DARMSTADT



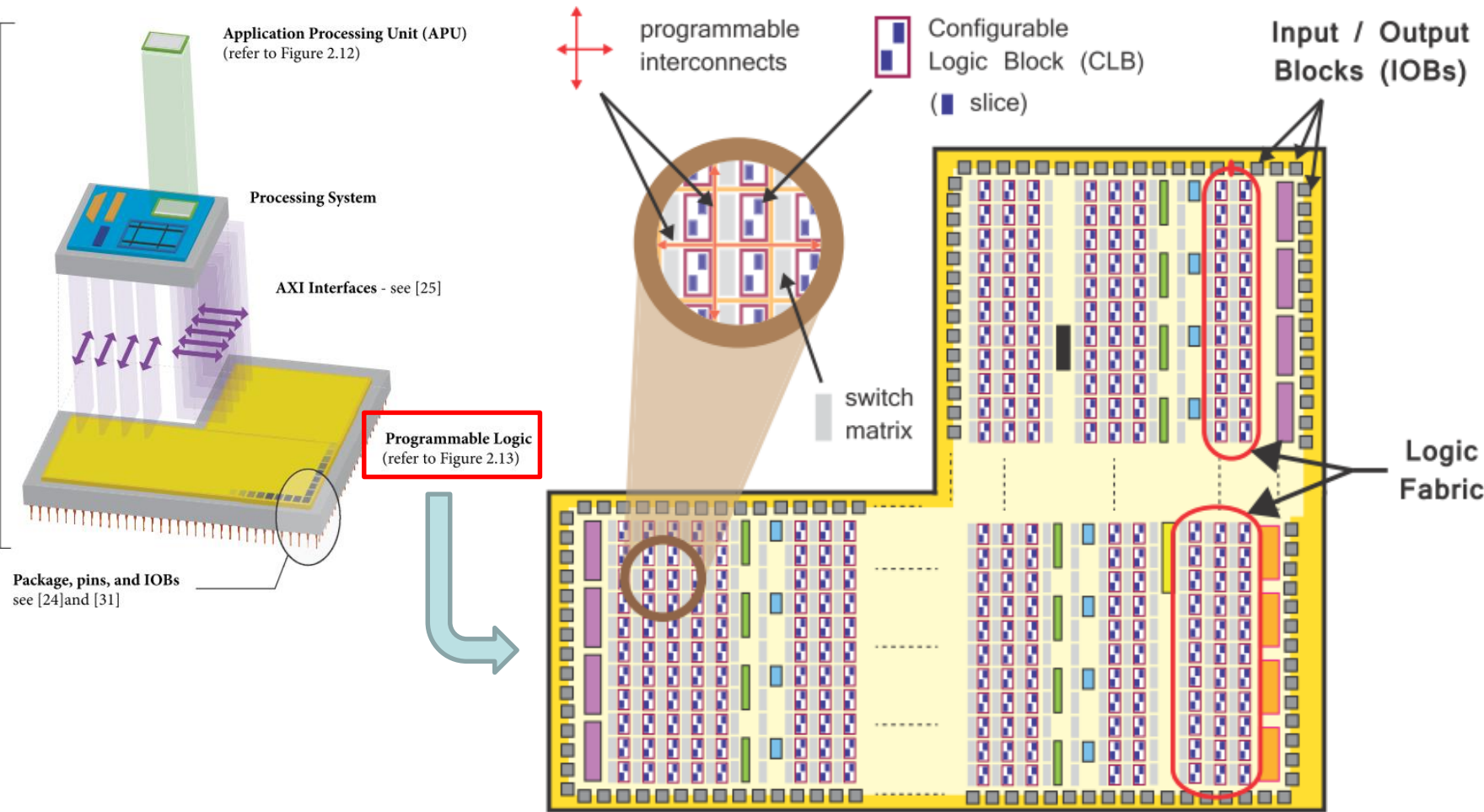
APU On-Chip Memory (OCM)

- 256 KB SRAM direkt auf dem Chip
- Nicht sonderlich schnell
 - Liest mit ca. 1.400 MB/s
 - Zum Vergleich: Externes 32b DDR3-SDRAM 1066 liest in der Praxis mit ca. 3.700 MB/s
- OCM hat aber geringere und weniger schwankende Zugriffslatenz
 - In der Regel 32-34 Taktzyklen
 - Zum Vergleich: Externes DDR3-SDRAM hat zwischen 37-200 Zyklen

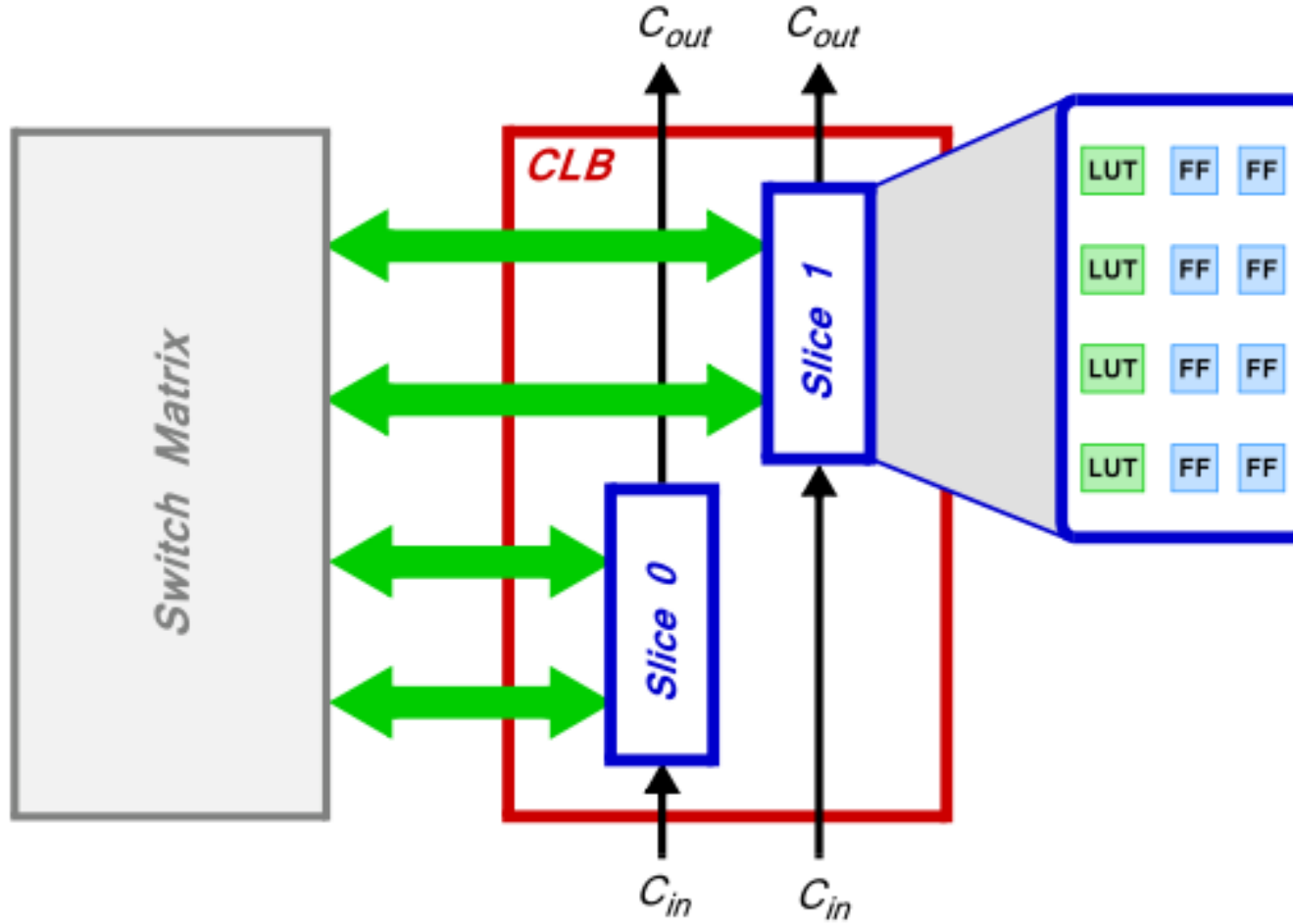


Programmierbare Logik

Integriertes FPGA (siehe TGDI)

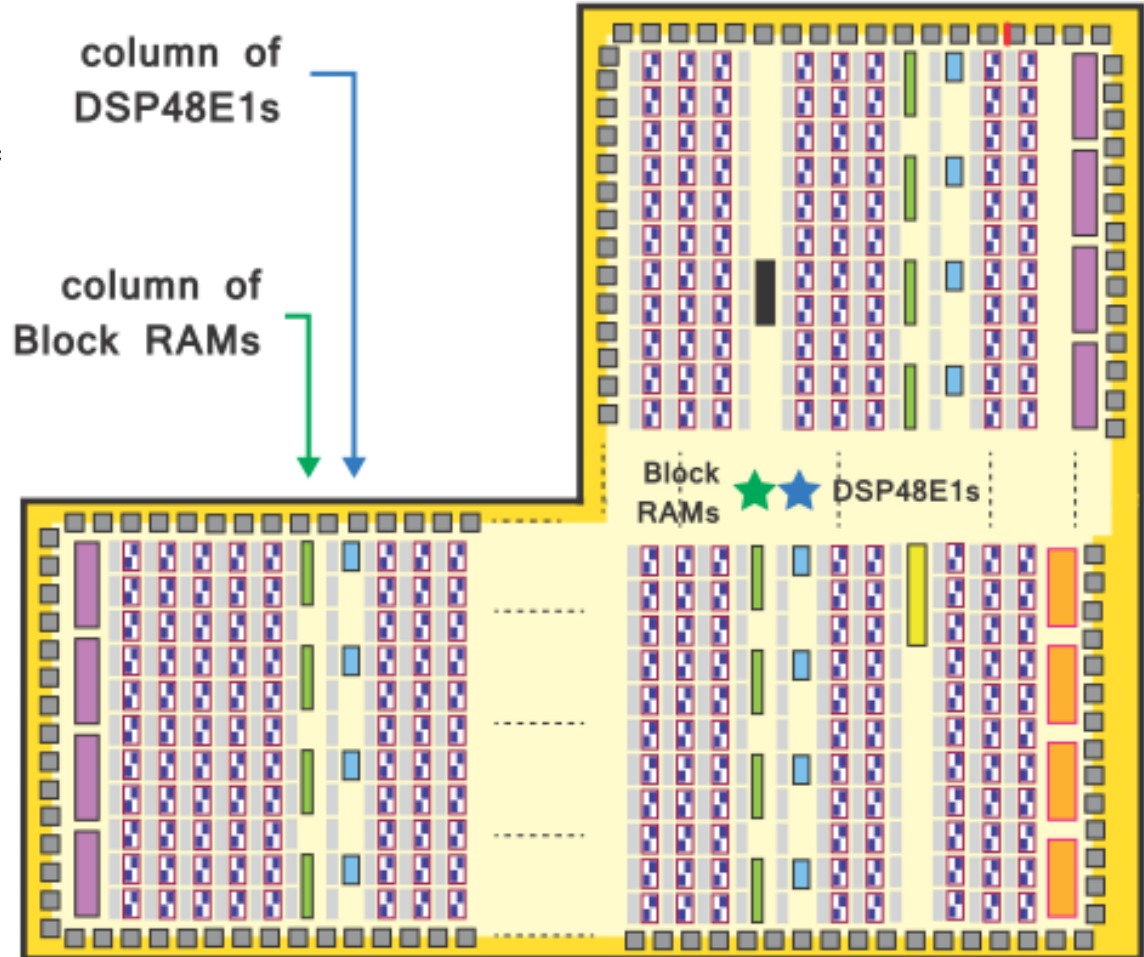
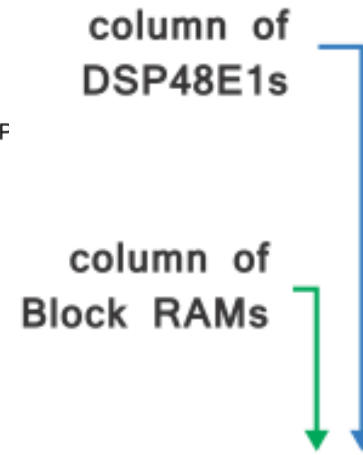
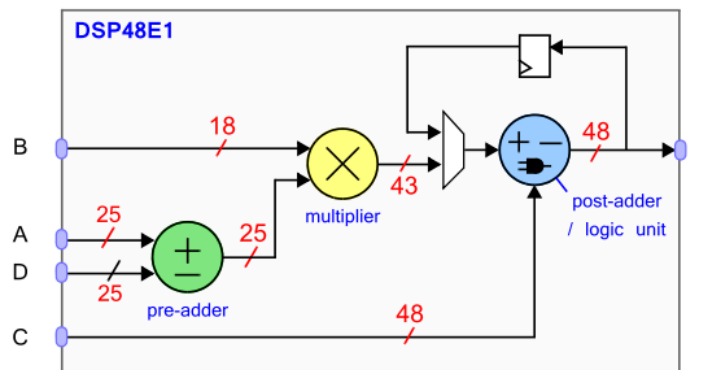


Konfigurierbarer Logikblock



Integrierte Speicher und Multiplizierer

BlockRAMs und DSP48E1-Blöcke



BlockRAMs: Je 36 Kb

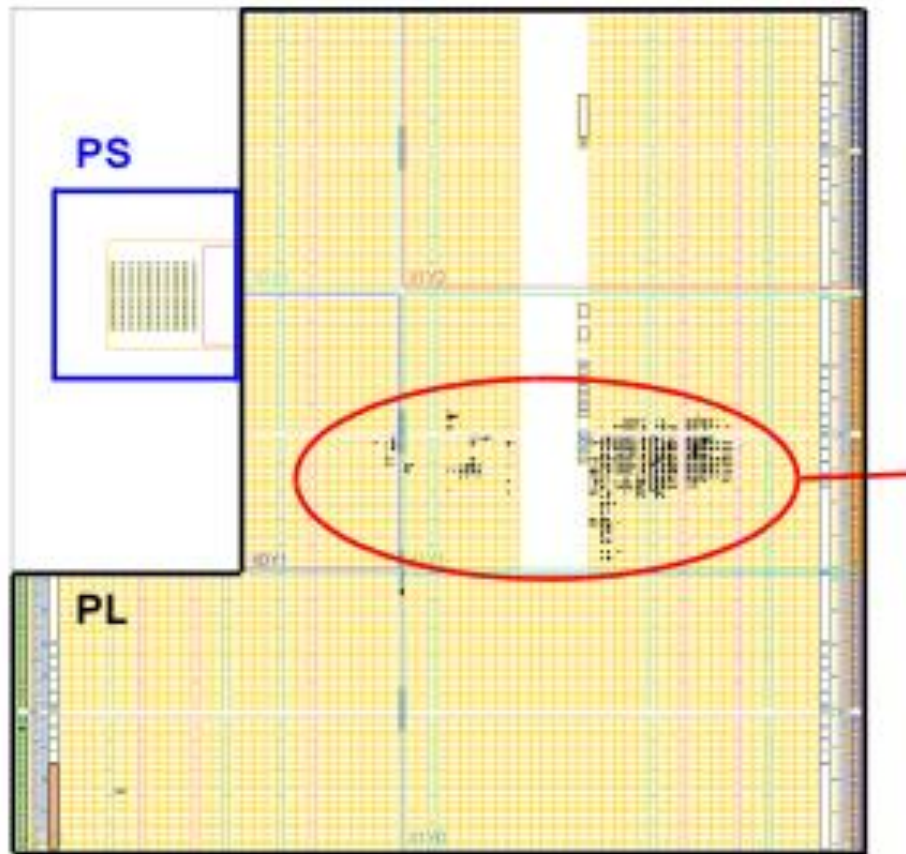
- 1x 36 Kb oder 2x 18 Kb
- Breite konfigurierbar
 - 4K x 9b, 8K x 4b,
1K x 36b,
512 x 72b, ...
- Alle parallel zugreifbar!

Prozessor in programmierbarer Logik

Soft Core Processor



TECHNISCHE
UNIVERSITÄT
DARMSTADT



- Am Beispiele des Xilinx MicroBlaze Soft Cores
 - RISC Prozessor
- Kleine Konfiguration
- Pipeline mit drei Stufen
- Maximale Taktfrequenz 298 MHz
- Rechenleistung 318 DMIPS
 - Gemessen mit Dhrystone-Benchmark

Prozessor in programmierbarer Logik

Soft Core Processor



TECHNISCHE
UNIVERSITÄT
DARMSTADT



- Schnelle Konfiguration
- Pipeline mit fünf Stufen
- Maximale Taktfrequenz 329 MHz
- Rechenleistung 440 DMIPS
 - Gemessen mit Dhrystone-Benchmark

Vergleich: Hard Core vs. Soft Cores



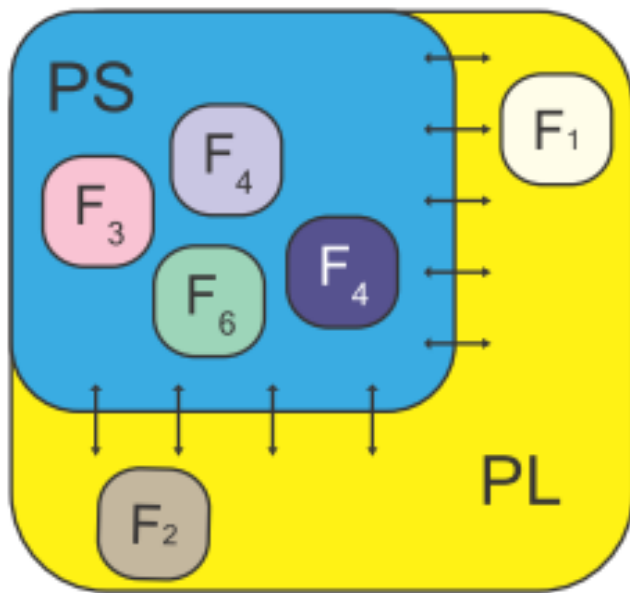
Name	Taktfrequenz [MHz]	Rechenleistung [DMIPS]
MicroBlaze (klein)	298	318
MicroBlaze (schnell)	329	440
Hard Cortex-A9	1.000	2.500

- Soft Cores in rekonfigurierbarer Logik
 - ... brauchen deutlich mehr Chip-Fläche als Hard Cores
 - ... laufen wesentlich langsamer
- Einsatz von Soft Cores in der Regel nicht mehr effizient, Trend geht zur Kombination von
 - Hard Core CPUs (für effiziente Realisierung von Standardfunktionen)
 - Rekonfigurierbarer Logik (für flexible Realisierung von Spezialfunktionen)

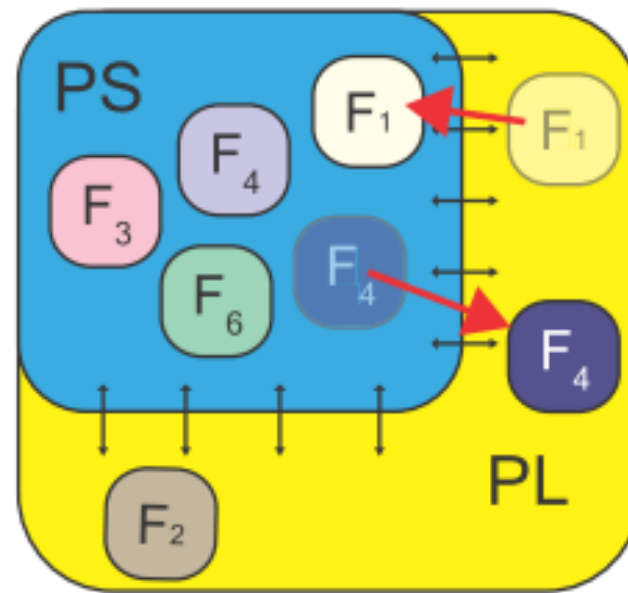
Partitionierung von Algorithmen



- Teile Ausführung auf zwischen Ausführung
 - ... als Software auf Prozessor (PS)
 - ... als spezialisierte Hardware-Einheiten in programmierbarer Logik (PL)

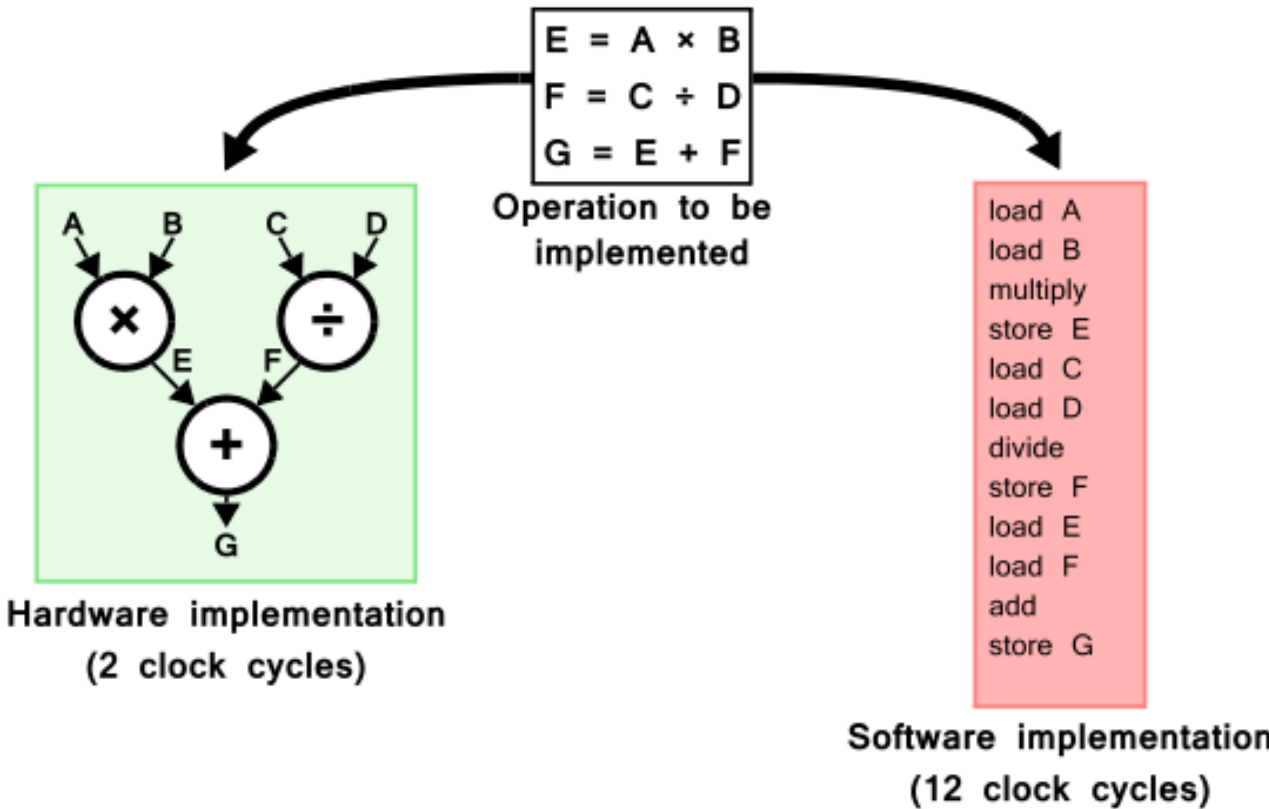


F1 und F2 in HW, Rest in SW



F1 nun in SW, F4 nun in HW

Beispiel: Schnellere Rechnung in HW



Partielle dynamische Rekonfiguration

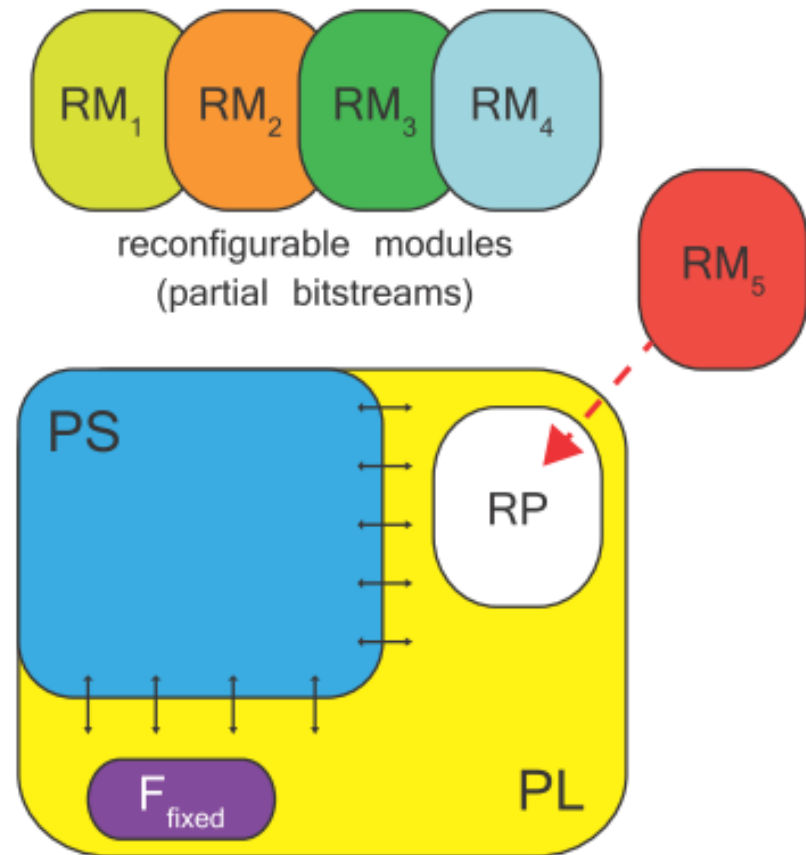


■ Dynamisch

- Tausche Funktionen in der PL zur **Laufzeit** aus

■ Partiell

- Rekonfiguriere nur die zu ändernden Teile der PL
- Der Rest läuft unverändert weiter
 - Auch während der Rekonfiguration!
- Erlaubt Änderung von Hardware-Funktionen während des laufenden Betriebs
- Effiziente Ausnutzung der Chip-Fläche





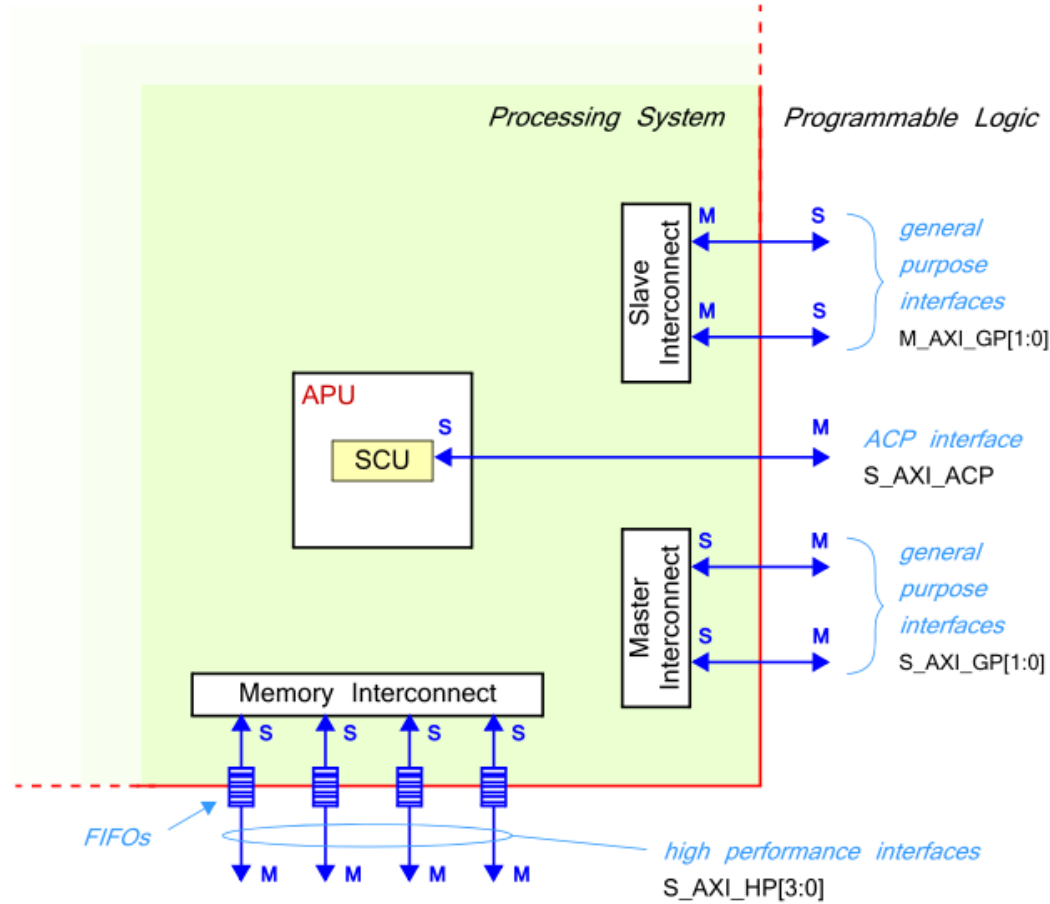
SCHNITTSTELLEN ZWISCHEN PROZESSOR UND FPGA

Schnittstellen zwischen PS und PL

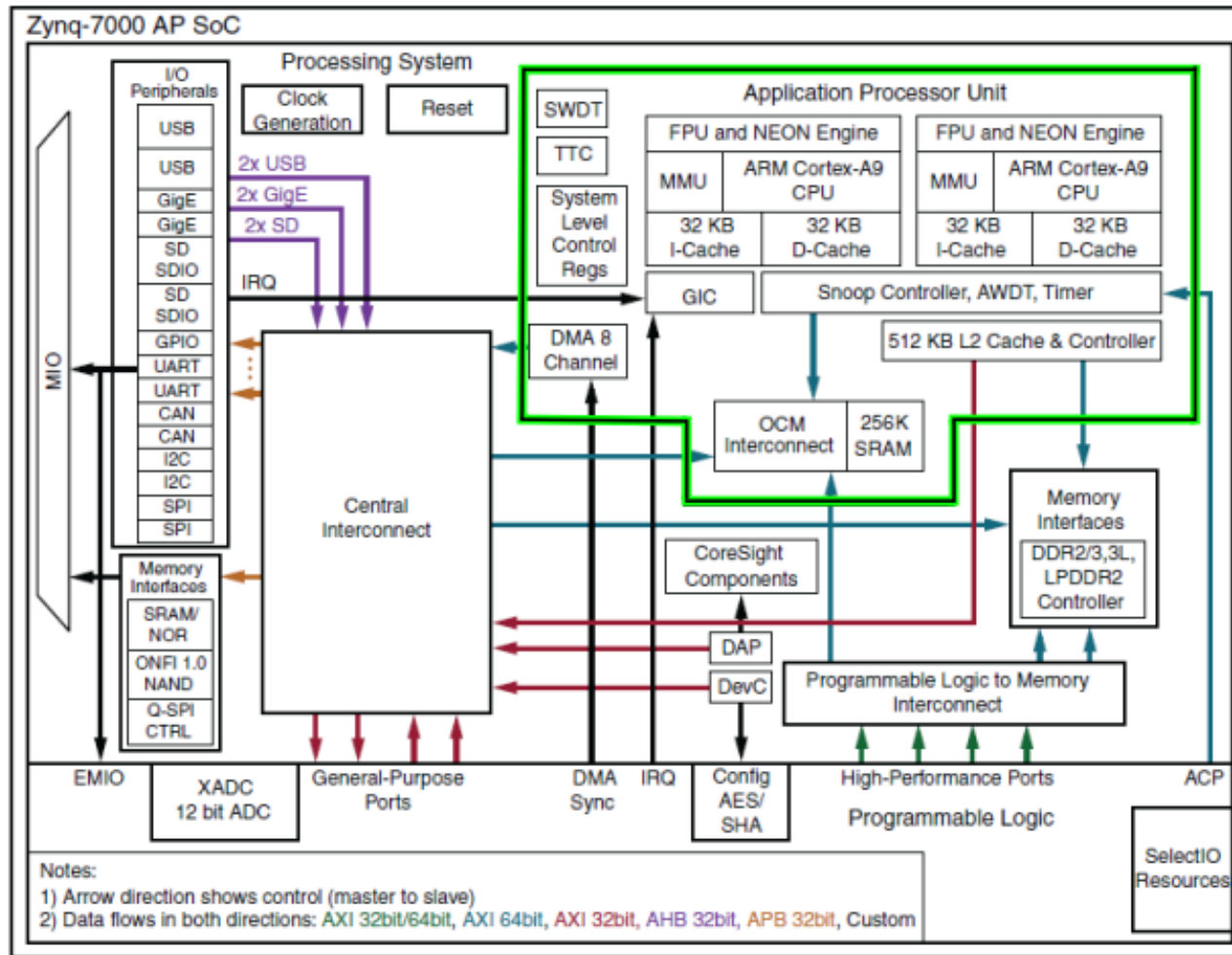


- Prozessor und programmierbare Logik müssen Daten austauschen
 - Eingabeparameter für Hardware-Funktionen
 - Ergebnisse von Hardware-Funktionen
 - In Zynq: Hardware-Funktionen haben keine eigene Schnittstelle zum Hauptspeicher
 - Greifen über PS auf gemeinsamen Hauptspeicher zu
- Kommunikation benötigt Schnittstellen zwischen PL und PS
- Alle Schnittstellen verwenden Varianten des ARM AMBA AXI4 Protokolls
 - Advanced Microcontroller Bus Architecture Advanced eXtensible Interface
 - Grundidee
 - Getrennte Signale für Lese- und Schreibrichtungen
 - Es müssen nicht immer beide Richtungen vorhanden sein

Konkrete Schnittstellen ...



... für verschiedene Aufgaben

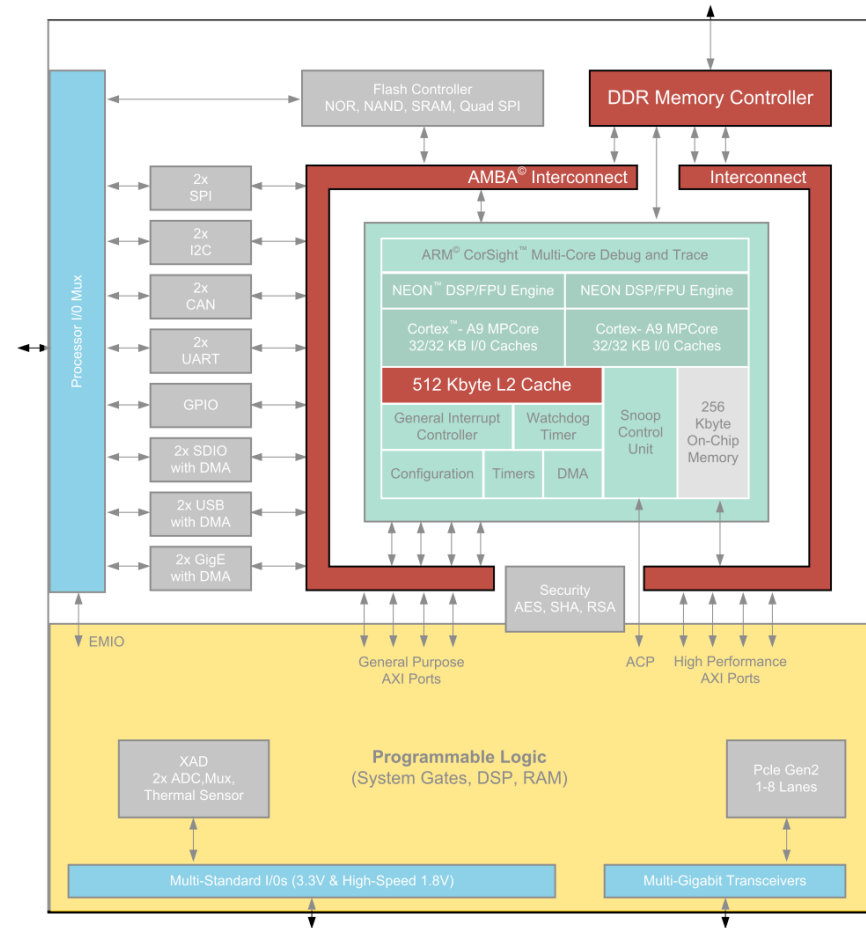


Gemeinsam genutzte Ressourcen



- Interconnects
- L2 Cache
- Speicher-Controller

- Zugriffe von
 - Prozessoren
 - PL
 - Master-fähigen Peripheriegeräten
- teilen sich Übertragungsdurchsatz**



[Beispiele hier aus Xilinx UG1145]

1. Beispiel: CPU und HP Ports



- Software (z.B. Betriebssystem) läuft auf CPU
- PL macht Videoverarbeitung von zwei Videodatenströmen (1080p60)
 - Je Strom benötigt: 376 MB/s lesen und 376 MB/s schreiben
 - Strom 1: Liest auf HP0, schreibt auf HP1; Strom 2 auf HP3 und HP4
- Abschätzung des benötigten Durchsatzes
 - Bandbreite CPU (hier vernachlässigbar)
 - $4 \times 376 \text{ MB/s} = 1.504 \text{ MB/s}$ für Videodaten
- Theoretischer (!) maximaler Durchsatz zum DDR3-SDRAM Speicher
 - Beispiel: zedboard
 - 533 MHz
 - Double Data Rate (Transfer bei @posedge und @negedge)
 - 2x 16b breite DDR3-SDRAM Chips, damit 4 B pro Transfer
 - $533 \text{ MHz} * 2 * 4 \text{ B} = 4.264 \text{ MB/s} \rightarrow \text{sollte ausreichen für Anwendung}$

1. Beispiel: Messungen



PS Performance Counters

	CPU0	CPU1	
CPU Utilization(%)	100.00	0.00	
CPU Instructions Per Cycle	0.38	0.00	
L1 Data Cache Miss Rate(%)	8.28	0.00	
L1 Data Cache Access	3466.94M	0.00	
CPU Write Stall Cycles Per Instructi...	0.00	0.00	
CPU Read Stall Cycles Per Instructi...	0.60	0.00	

PL Performance Counters

	HP0	HP1	HP2	HP3
Write Transactions	0.00	233.93M	0.00	233.93M
Average Write Latency	0.00	19.02	0.00	19.02
Write Throughput (MB/sec)	0.00	377.42	0.00	377.43
Read Transactions	233.93M	0.00	233.93M	0.00
Average Read Latency	42.96	0.00	40.17	0.00
Read Throughput (MB/sec)	377.42	0.00	377.42	0.00

1. Beispiel: Interpretation



PS Performance Counters

	CPU0	CPU1
CPU Utilization(%)	100.00	0.00
CPU Instructions Per Cycle	0.38	0.00
L1 Data Cache Miss Rate(%)	8.28	0.00
L1 Data Cache Access	3466.94M	0.00
CPU Write Stall Cycles Per Instructi...	0.00	0.00
CPU Read Stall Cycles Per Instructi...	0.60	0.00

Kaum Verzögerungen für CPU-Zugriffe

PL Performance Counters

	HP0	HP1	HP2	HP3
Write Transactions	0.00	233.93M	0.00	233.93M
Average Write Latency	0.00	19.02	0.00	19.02
Write Throughput (MB/sec)	0.00	377.42	0.00	377.43
Read Transactions	233.93M	0.00	233.93M	0.00
Average Read Latency	42.96	0.00	40.17	0.00
Read Throughput (MB/sec)	377.42	0.00	377.42	0.00

Alle PL-Zugriffe haben benötigten Durchsatz

2. Beispiel: Mehr Durchsatz



- Gleiches Szenario: CPU und vier HP Ports
- Nun aber höhere deutlich mehr Datentransfers aus der PL
 - Angenommen: Alle vier Ports lesen und schreiben gleichzeitig
 - Mit 512 MB/s je Port je Richtung
 - Insgesamt benötigt 4.096 MB/s
- Theoretisches (!) Maximum des Speicherdurchsatzes: 4.264 MB/s
 - ... wird eng!

2. Beispiel: Interpretation



PS Performance Counters

	CPU0	CPU1	
CPU Utilization(%)	100.00	0.00	
CPU Instructions Per Cycle	0.25	0.00	
L1 Data Cache Miss Rate(%)	8.30	0.00	
L1 Data Cache Access	3459.83M	0.00	
CPU Write Stall Cycles Per Instructi...	0.00	0.00	
CPU Read Stall Cycles Per Instructi...	2.44	0.00	

PL Performance Counters

	HP0	HP1	HP2	HP3
Write Transactions	262.61M	262.61M	262.51M	262.51M
Average Write Latency	19.02	19.02	19.02	19.02
Write Throughput (MB/sec)	424.22	424.22	424.06	424.06
Read Transactions	229.54M	229.54M	229.53M	229.53M
Average Read Latency	217.97	217.91	217.96	217.91
Read Throughput (MB/sec)	370.81	370.81	370.79	370.79

2. Beispiel: Messungen



PS Performance Counters

	CPU0	CPU1	
CPU Utilization(%)	100.00	0.00	
CPU Instructions Per Cycle	0.25	0.00	
L1 Data Cache Miss Rate(%)	8.30	0.00	
L1 Data Cache Access	3459.83M	0.00	
CPU Write Stall Cycles Per Instructi...	0.00	0.00	
CPU Read Stall Cycles Per Instructi...	2.44	0.00	CPU nun verlangsamt (war 0.60)

PL Performance Counters

	HP0	HP1	HP2	HP3
Write Transactions	262.61M	262.61M	262.51M	262.51M
Average Write Latency	19.02	19.02	19.02	19.02
Write Throughput (MB/sec)	424.22	424.22	424.06	424.06
Read Transactions	229.54M	229.54M	229.53M	229.53M
Average Read Latency	217.97	217.91	217.96	217.91
Read Throughput (MB/sec)	370.81	370.81	370.79	370.79

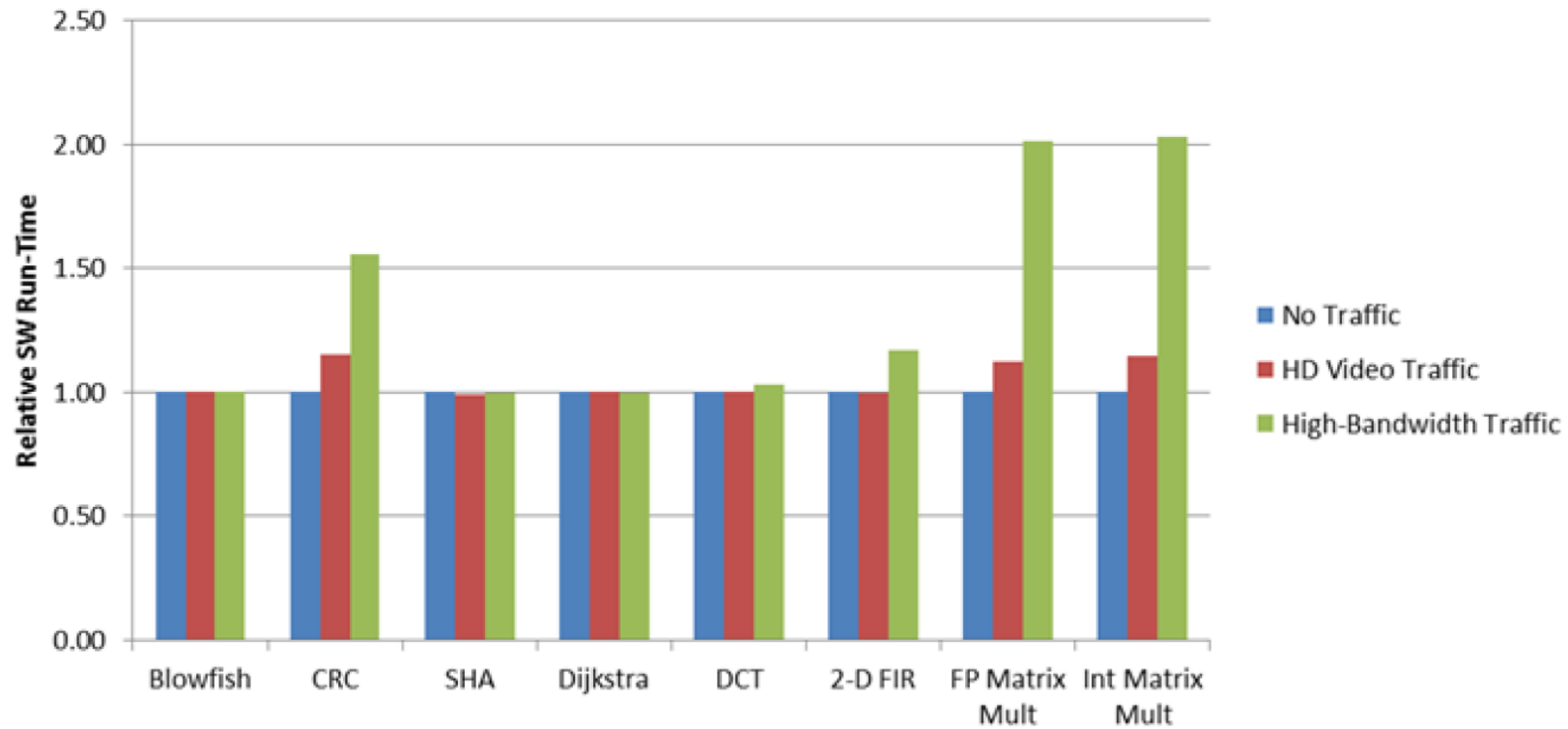
Langsamer,
war 40-42

Keiner der Ports erreicht benötigten Durchsatz (gesamt 3179.76 MB/s, 74.5% DDR3 SDRAM)

Einfluß von PL auf Software-Ausführung



BEEBS Benchmark Run-Times with Varying HP Port Traffic



- Deutliche Verlangsamung von Software auf CPU bei vielen Datentransfers von PL

Diskussion HP vs ACP



- HP und ACP greifen beide auf Speicher zu
- ACP greift aber via SCU auf L2 Cache zu
- ACP
 - Erlaubt cache-kohärente Ausführung zusammen mit CPU (*shared memory model*)
 - Liefert Daten schnell, solange sie im Cache liegen
 - Teilt sich aber L2 Cache mit CPU
 - Nach erfolglosem Zugriff auf Cache (miss) Zugriff auf externen DDR3-SDRAM
 - Cache-Verarbeitung braucht aber zusätzliche Latenz
- HP
 - Ist cache-inkohärent zu CPU
 - Greift immer auf DDR3-SDRAM zu (PL-interne Caches wären aber möglich)
 - Belastet nicht CPU L2 Cache (z.B. keine Verdrängung von Cache-Lines)

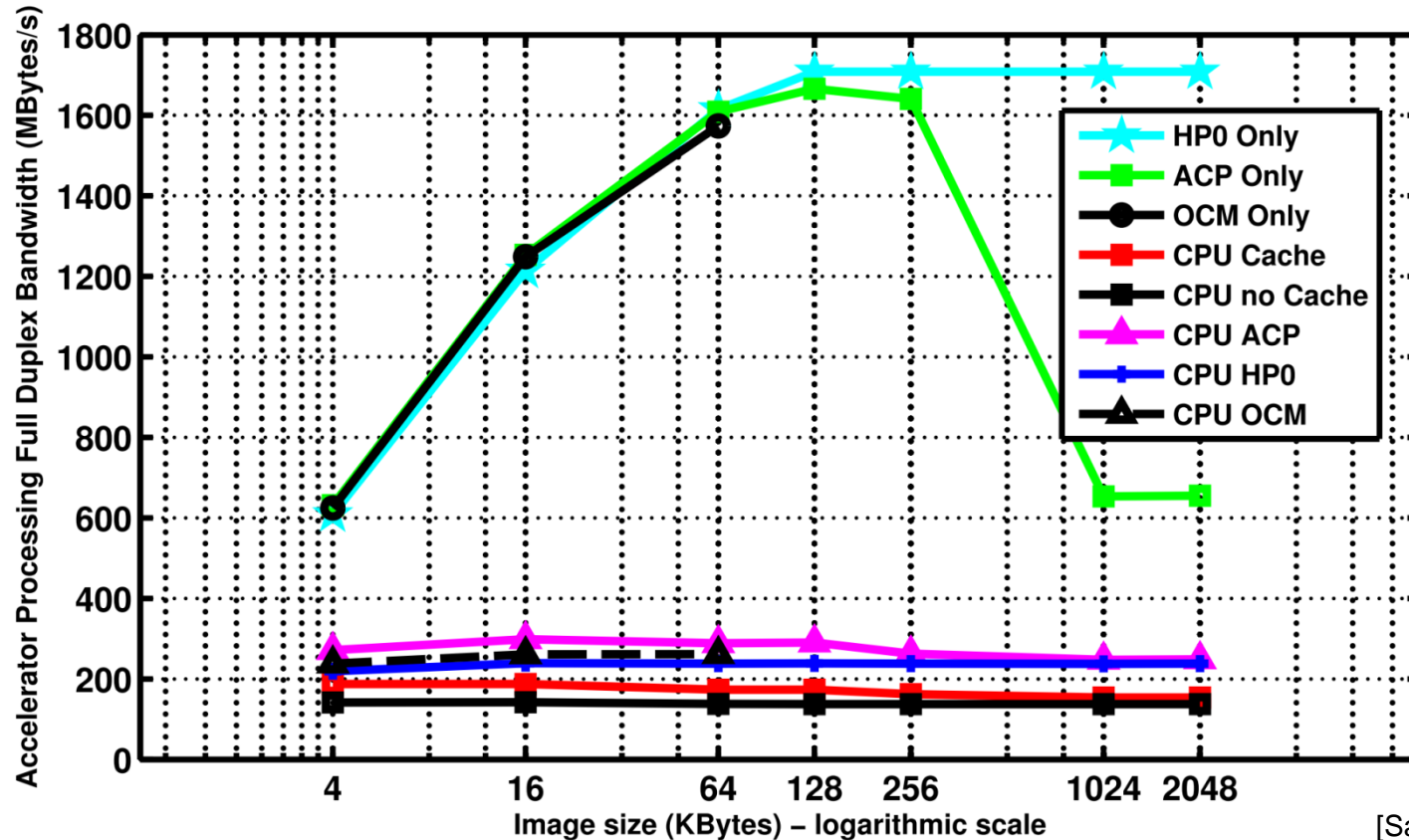
{### HP verwenden bei großen Datenmengen, irreguläre Zugriffe; sonst ACP ###}

Vergleich HP vs ACP

Beispiel: Bildverarbeitung von Eingabe- nach Ausgabebild



TECHNISCHE
UNIVERSITÄT
DARMSTADT



[Sadri FPGAworld 2013]

- L2\$ im Zynq: 512 KB
- Bei Bildgröße von 256 KB reicht L2\$ nicht mehr aus, ACP Durchsatz bricht ein

Protokollfamilie ARM AMBA AXI4

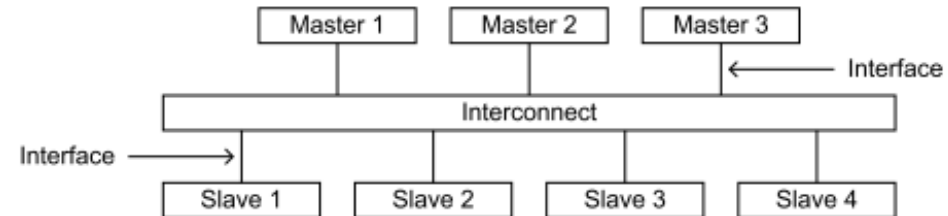
Varianten



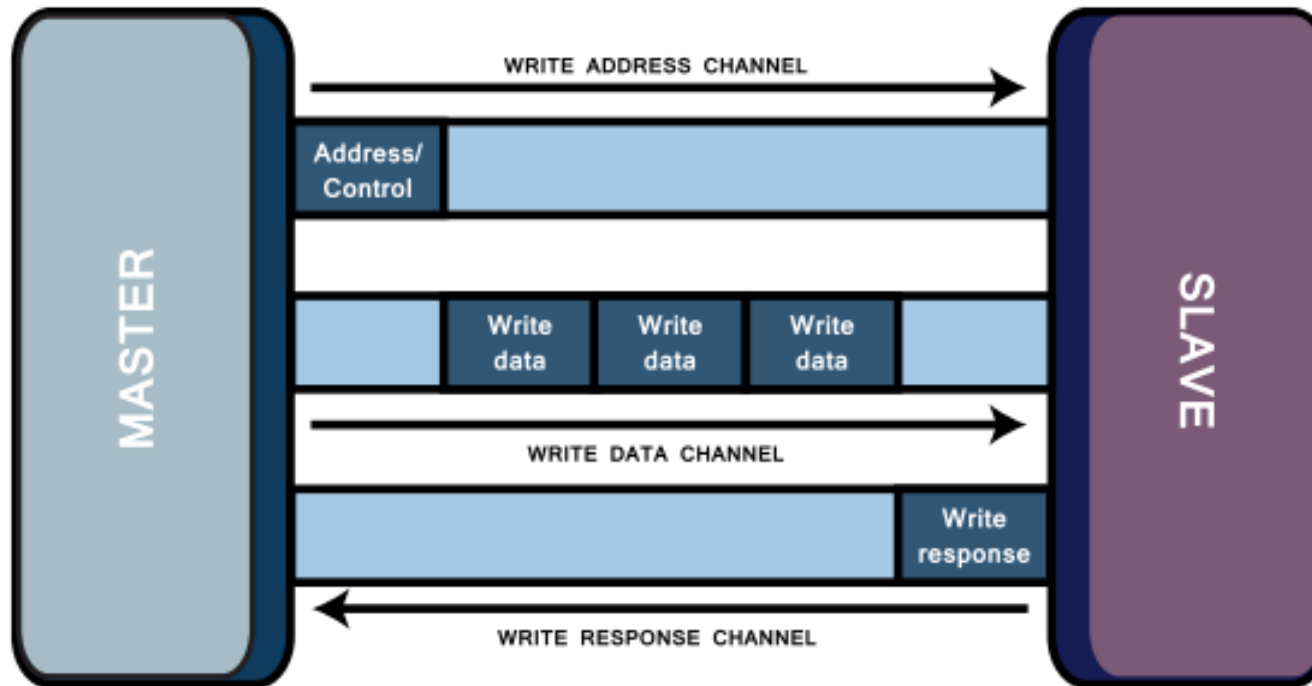
TECHNISCHE
UNIVERSITÄT
DARMSTADT

- **AXI4:** Mächtigste Implementierung, benötigt am meisten Chip-Fläche
 - Unterstützt memory-mapped I/O (Adressen und Daten)
 - Erlaubt effiziente Übertragung von ganzen Datengruppen (*burst transfer*)
- **AXI4-Lite:** Einfacher, braucht aber weniger Chip-Fläche
 - Unterstützt memory-mapped I/O (Adressen und Daten)
 - Aber nur noch Übertragung von Einzeldaten, keine Burst-Transfers mehr
- **AXI4-Stream:** Spezialisierte Realisierung
 - Überträgt nur reine Datenströme (keine Adressen mehr, damit ungeeignet für memory-mapped I/O)
 - Unbegrenzt lange Bursts
 - Unidirektionale Datenübertragung von Master zu Slave
 - Bidirektionale Übertragung benötigt zwei separate AXI4-Streams

- **Getrennte Übertragungskanäle** für Adressen/Kommandos und Daten
 - AXI4-Stream: Verwendet einen einzelnen Kanal für Daten
- Master **löst** Übertragung aus, Slave **reagiert** auf Übertragung
 - Liefert Daten an Master bei Lesezugriff
 - Nimmt Daten vom Master entgegen bei Schreibzugriff
 - Liefert Status an Master (über Lesekanal oder extra Rückkanal für Antworten beim Schreiben)
- Mehrere AXI Kommunikationspartner kommunizieren über ein **Verbindungsnetz**
 - *Interconnect*
 - Abstrahiert, **nicht** zwangsläufig ein Bus

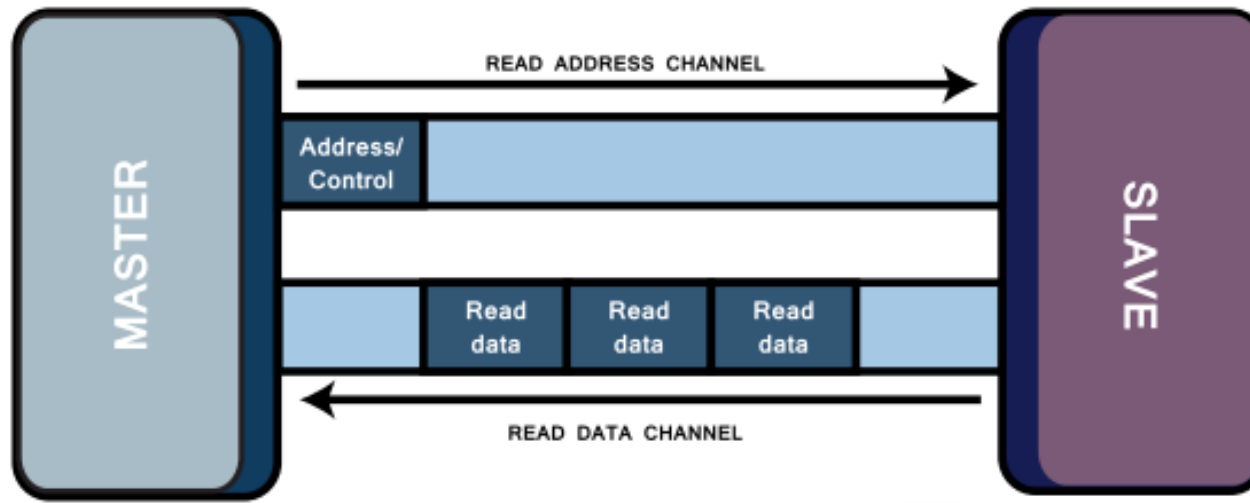


Master schreibt Daten zum Slave



- Burst-Übertragung: Master setzt nur Start-Adresse
 - Slave muss Folgeadressen selber bestimmen (z.B. Hochzählen)
 - Maximale Burstlänge sind 256 Datensätze (genannt *beats*, im Beispiel hier 3)

Master liest Daten vom Slave

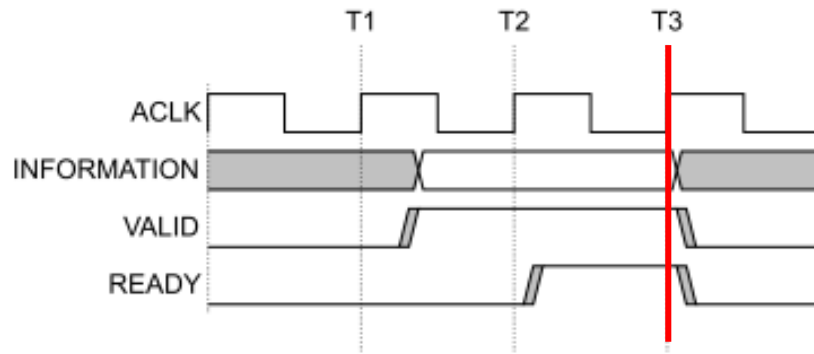


- Wieder Burst-Übertragung von 3 Beats
 - Ein einzelner Beat kann 1 bis 128 Bytes umfassen

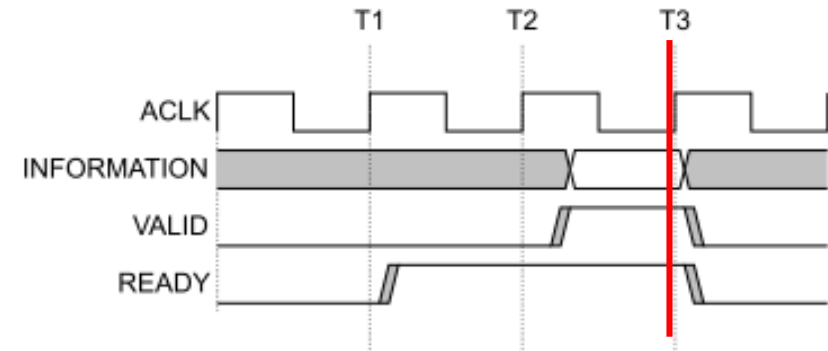
Grundlagen der Signalisierung



- Handshake zwischen Quelle und Ziel von Daten, jeweils ausgewertet @posedge
 - **Quelle** setzt VALID, wenn gültige Daten anliegen
 - **Ziel** setzt READY, wenn Daten übernommen werden können
- Idee
 - Wenn VALID **und** READY gleichzeitig aktiv sind, wurden Daten übernommen



VALID vor READY gesetzt



VALID nach READY gesetzt

Handshake Signale



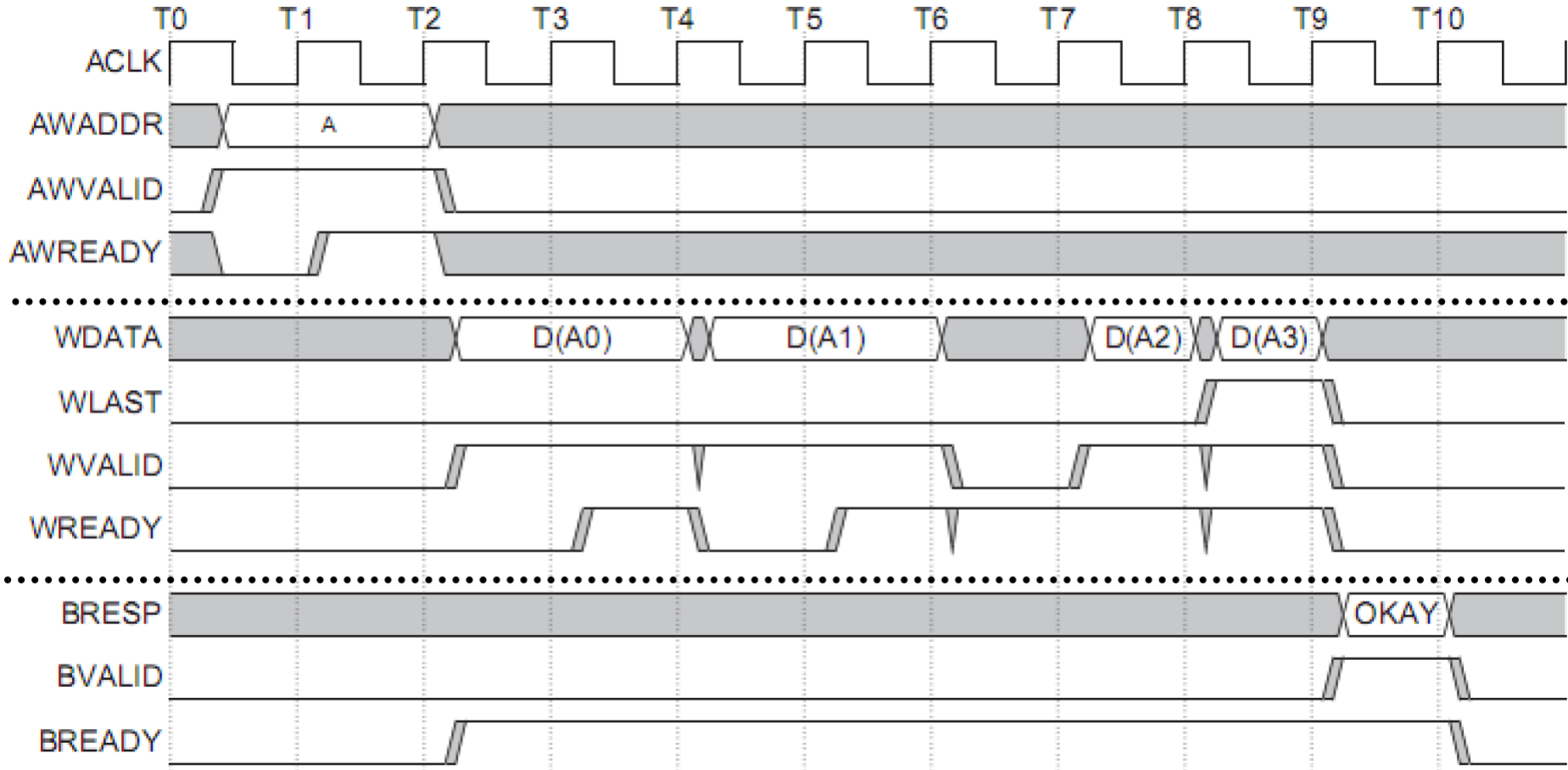
Transaction channel	Handshake pair
Write address channel	AWVALID, AWREADY
Write data channel	WVALID, WREADY
Write response channel	BVALID, BREADY
Read address channel	ARVALID, ARREADY
Read data channel	RVALID, RREADY

Beispiel: Master schreibt zum Slave

Vereinfacht, nicht alle Signale gezeigt



AWLEN=3 → 4 Beats

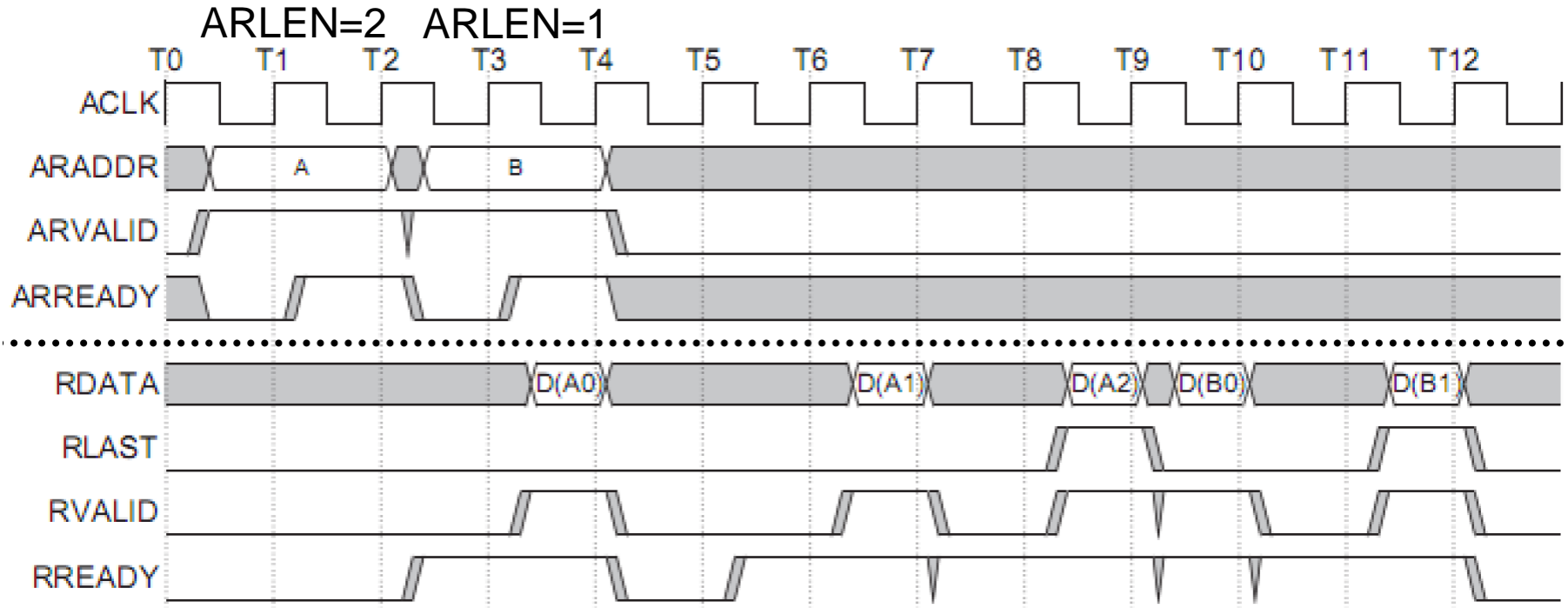


Beispiel: Master liest vom Slave

Vereinfacht, nicht alle Signale gezeigt

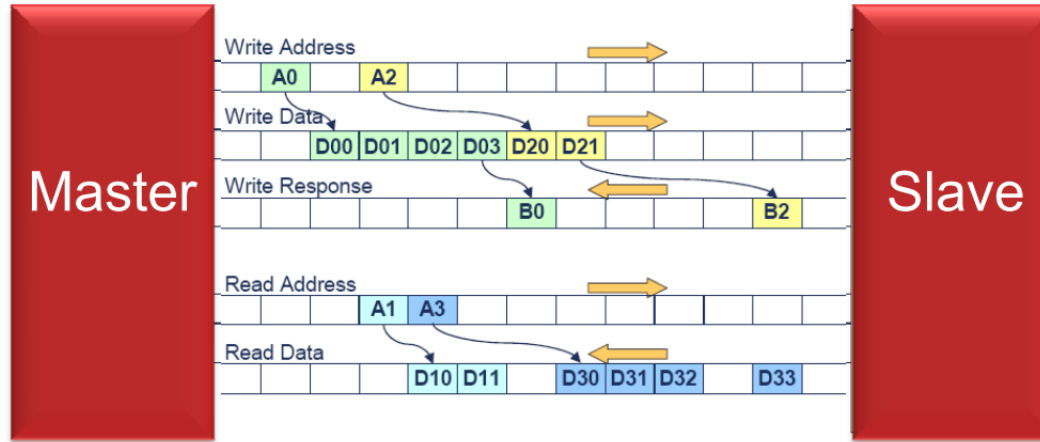


TECHNISCHE
UNIVERSITÄT
DARMSTADT



- Hier: Ausnutzen von Pipelining
 - Übertrage ARLEN+1=3 Datenworte an Adresse A,A+1,A+2
 - Übertrage nächste ARLEN+1=2 Datenworte an Adresse B, B+1
 - Slave beendet dann ersten Burst durch Setzen von RLAST und startet nächsten Burst

Übersicht über wesentliche AXI4 Signale



Write Address Channel

- AWID[m:0]
- AWVALID
- AWREADY
- AWADDR[31:0]
- AWLEN[7:0]
- AWSIZE[2:0]
- AWPROT[2:0]
- AWBURST[1:0]
- AWLOCK
- AWCACHE[3:0]
- AWREGION[3:0]
- AWQOS[3:0]

Write Data Channel

- WVALID
- WREADY
- WDATA[n-1:0]
- WSTRB[n/8-1:0]
- WLAST

Write Response Channel

- BID[m:0]
- BVALID
- BREADY
- BRESP[1:0]

Read Address Channel

- ARID[m:0]
- ARVALID
- ARREADY
- ARADDR[31:0]
- ARLEN[7:0]
- ARSIZE[2:0]
- ARBURST[1:0]
- ARPROT[2:0]
- ARLOCK
- ARCACHE[3:0]
- ARREGION[3:0]
- ARQOS[3:0]

Read Data Channel

- RID[m:0]
- RVALID
- RREADY
- RDATA[n-1:0]
- RRESP[1:0]
- RLAST

ACLK
ARESETn

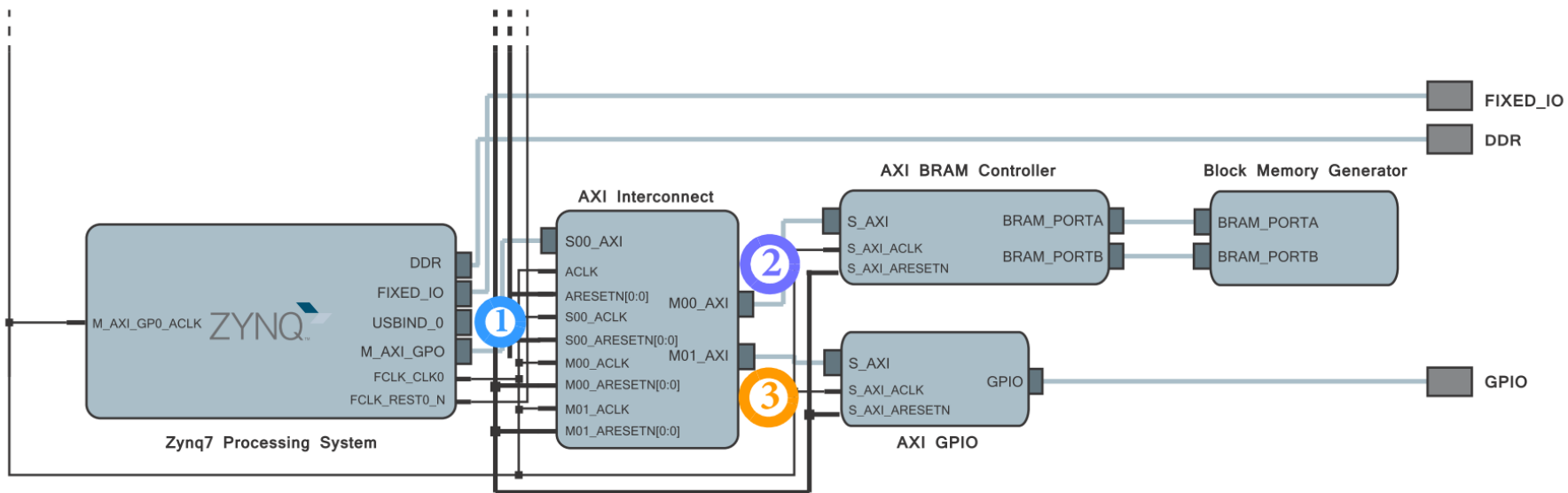
Fettdruck: AXI4-Lite

Beispielsystem

Prozessor soll auf BlockRAM zugreifen und LED steuern



TECHNISCHE
UNIVERSITÄT
DARMSTADT



- 1) PS ist Master, verwendet General Purpose-Schnittstelle
Interconnect ist Slave
- 2) Interconnect agiert als Master gegenüber BRAM Schnittstelle
- 3) Interconnect agiert als Master gegenüber LED-Pin
 - GPIO: General Purpose I/O, allgemeinverwendbare Ein-/Ausgabepins



IP BLÖCKE UND HIGH-LEVEL SYNTHESE

Vordefinierte Hardware-Funktionen



- “intellectual property” (IP) blocks / cores
- Hardware-Entwurf sehr aufwendig (=teuer)
- Vordefinierte Blöcke für viele Standardaufgaben



Browse by category

- ↳ Analog & Mixed Signal (5095)
- ↳ Memory Controller & PHY (605)
- ↳ Graphic & Peripheral (474)
- ↳ Interface Controller & PHY (1700)
- ↳ Processor & Microcontroller (532)
- ↳ Memory & Logic Library (4760)
- ↳ Security (403)
- ↳ Multimedia (653)
- ↳ Wireline Communication (858)
- ↳ Wireless Communication (396)
- ↳ Automotive (49)
- ↳ Platform Level IP (73)
- Network-on-Chip (NoC) (25)
- ↳ Other (593)

Multimedia IP Listing

653 IP Cores (1 - 40)

[Send Group E-mail](#)

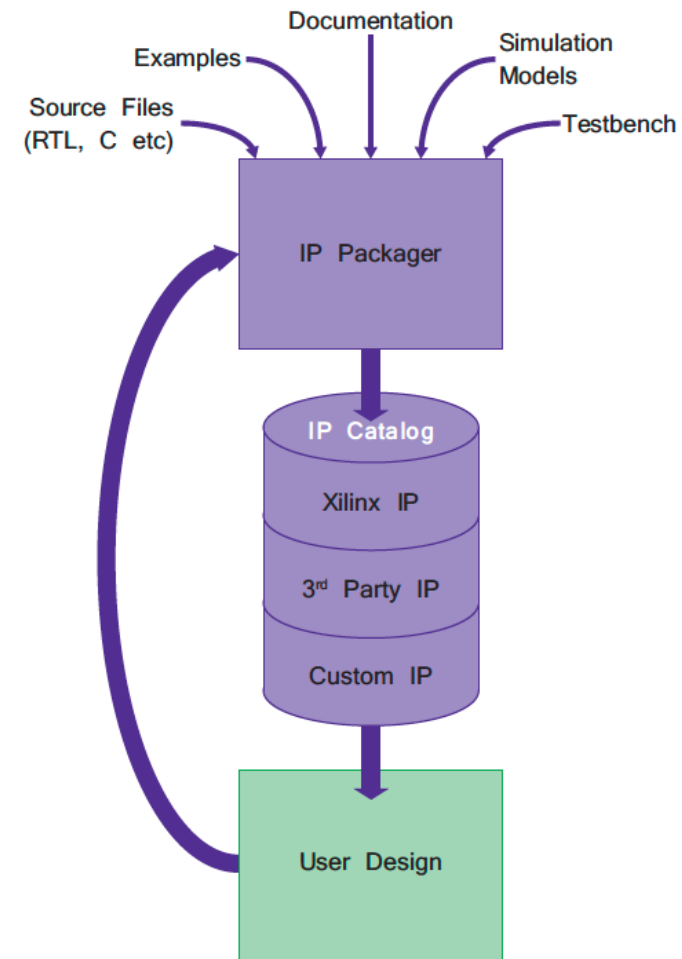
Looking for a specific IP?
Save time, [post your request](#)

- 1 **H.264 Encoder High Profile (8K on Zynq/Arria)**
The H.264 Encoder IP core has been developed to be the highest throughput standards compliant hardware H.264 video compressor. Two encoder variants are available to meet the different targets ...
[Evaluate Xilinx Vivado drag-n-drop instance](#)
[Demo Video](#)
- 2 **HEVC Decoder**
PathPartner offers universal and configurable HEVC Main profile Decoder solution on Zynq-7 series, Zynq Ultrascale series from Xilinx. Complete FPGA solution on Kintex-7 series, Virtex-7 Series ...
[Demo Video](#)
- 3 **4K, 4:2:0/4:2:2/4:4:4, 8/10/12 bit HEVC Decoder**
HEVC video decoder IP core by ParaQum Technologies is an all-hardware, high performance video decoder which is easily integrable to complex FPGA based SoCs and supports upto 4K video decoding ...
[Demo Video](#)
- 4 **Hardware 12-bit MJPEG Codec IP**
The Hardware 12-bit JPEG Codec is a standalone and high performance JPEG codec IP that can perform the JPEG baseline and MJPEG decoding and encoding. Fully compliant with the baseline sequential ...

Einpacken der IP Blöcke



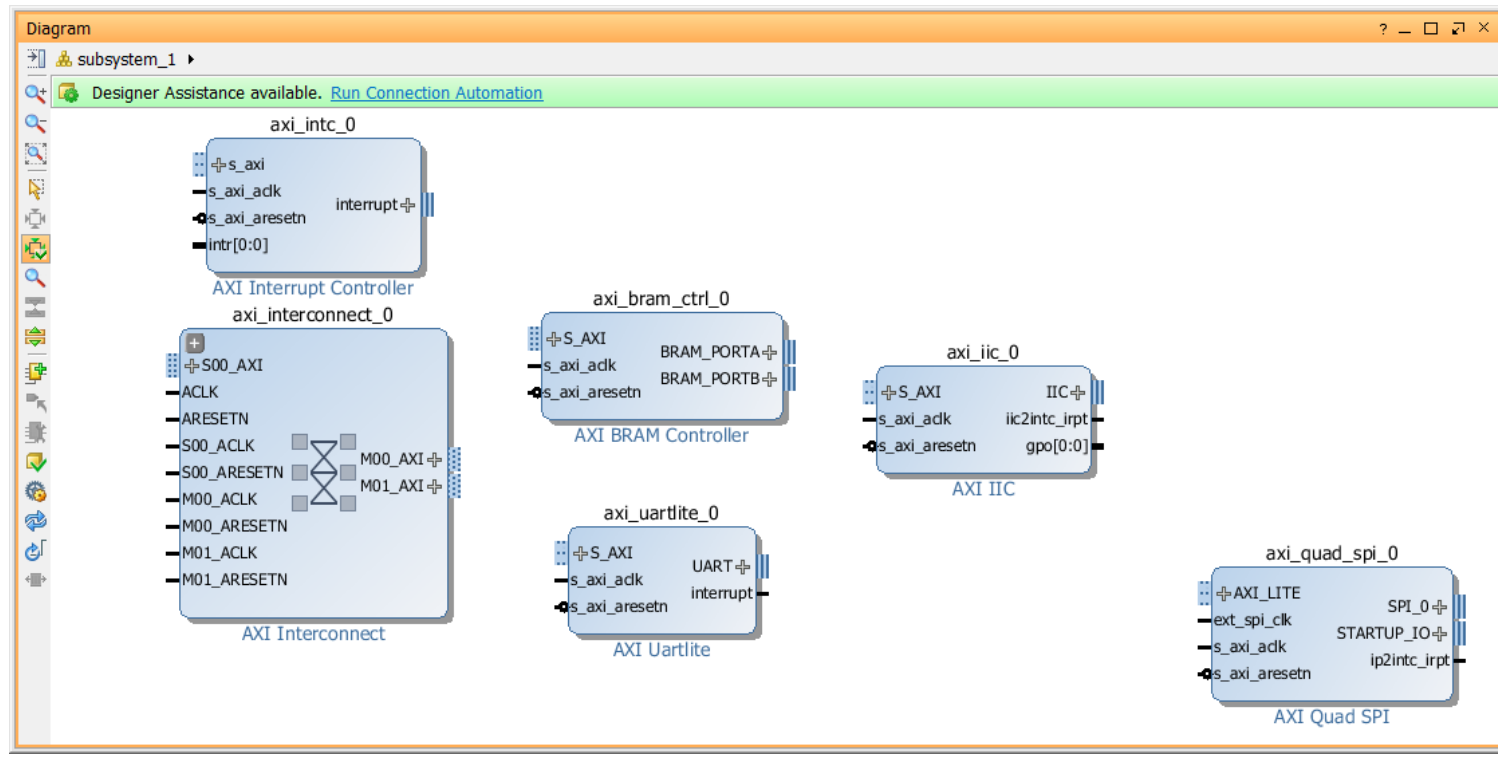
- Standardisierte Beschreibung der Schnittstellen
 - IP XACT (eine Art XML-Datei)
- Blöcke umfassen nicht nur Hardware, auch ...
 - Dokumentation
 - Simulationsmodelle
 - Beispiele
 - ...
- Erstellen von Blöcken
 - Xilinx Vivado "IP Packager"



Benutzen der Blöcke 1



- Hier am Beispiel von Xilinx Vivado “IP Integrator”
- Instantiiieren der benötigten Blöcke

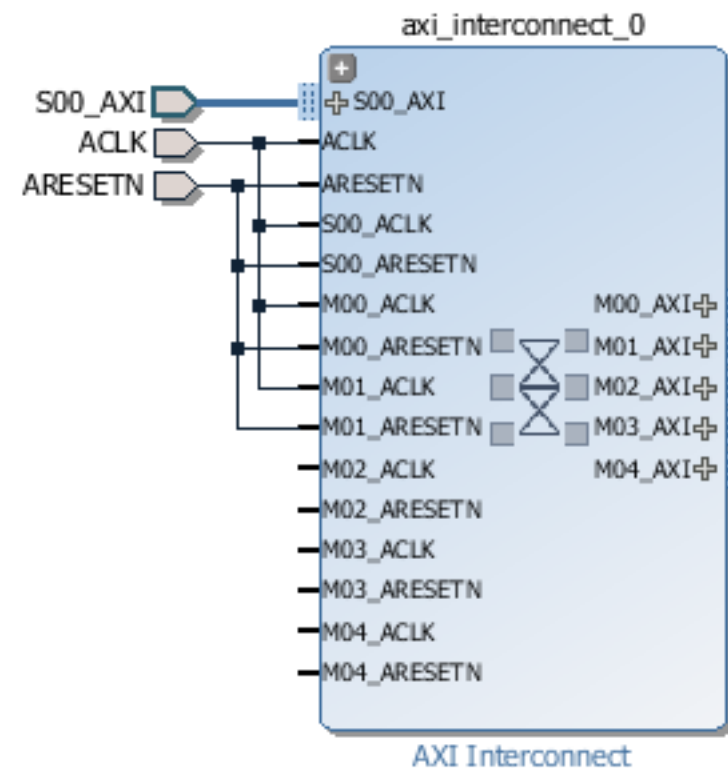
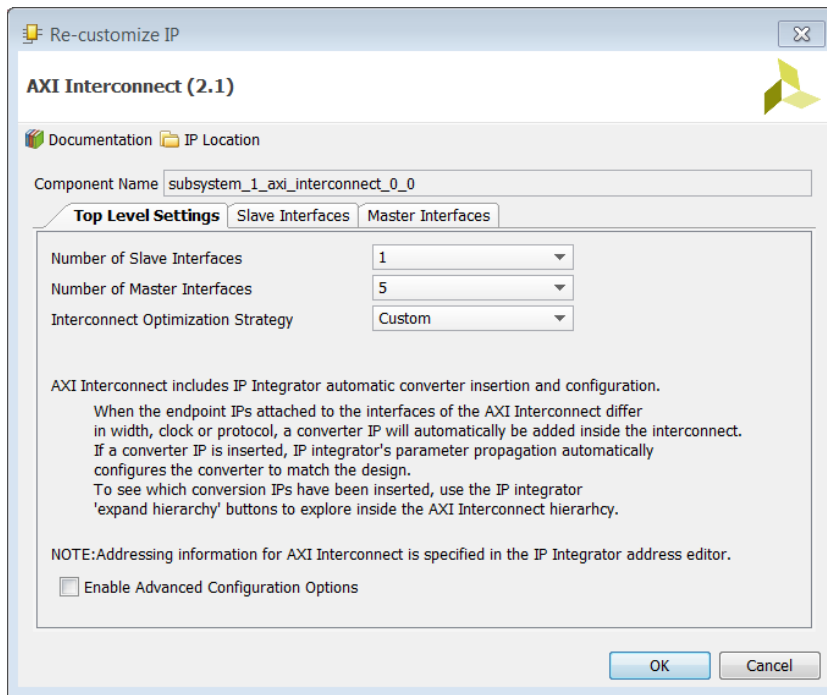


Xilinx UG 995

Benutzen der Blöcke 2



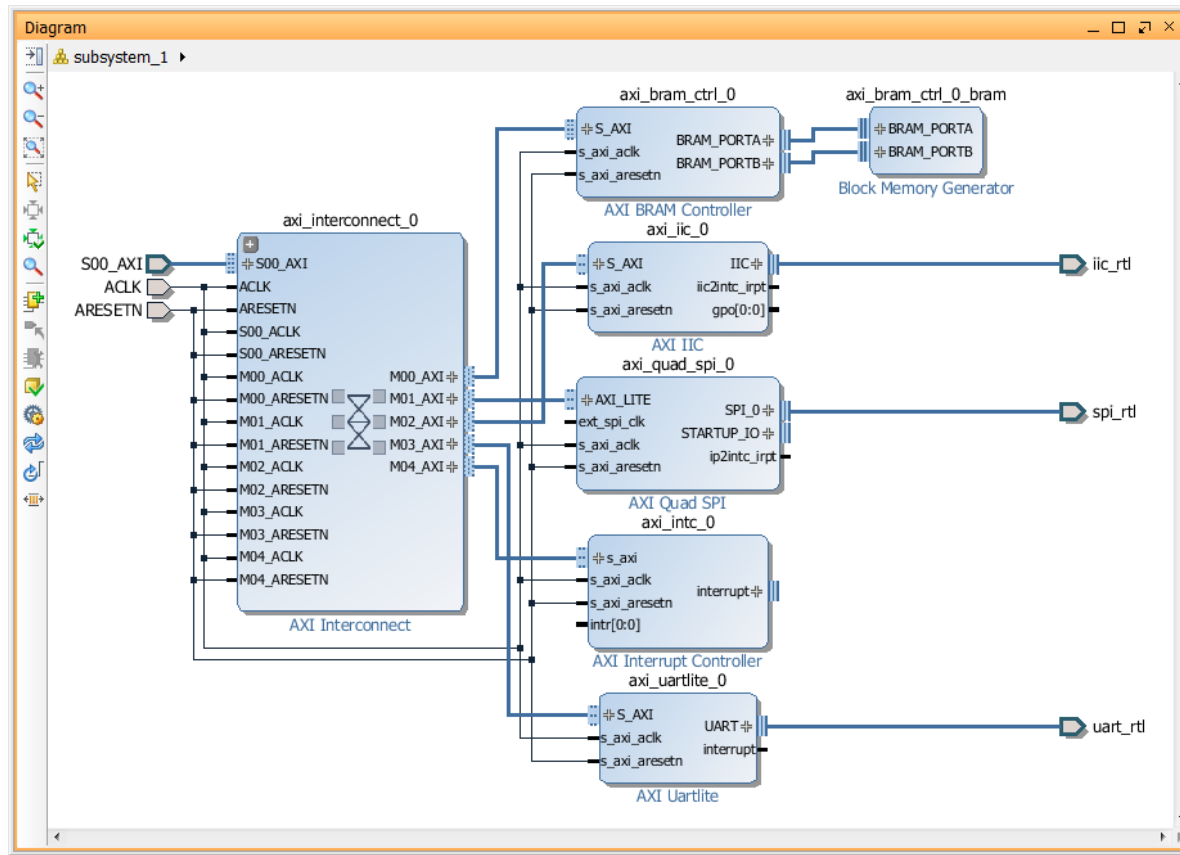
- Konfigurieren der Blöcke
 - Hier: 5 Master statt der Default=2 benötigt



Benutzen der Blöcke 3



- Automatisiertes Verbinden der Blöcke (*connection automation*)



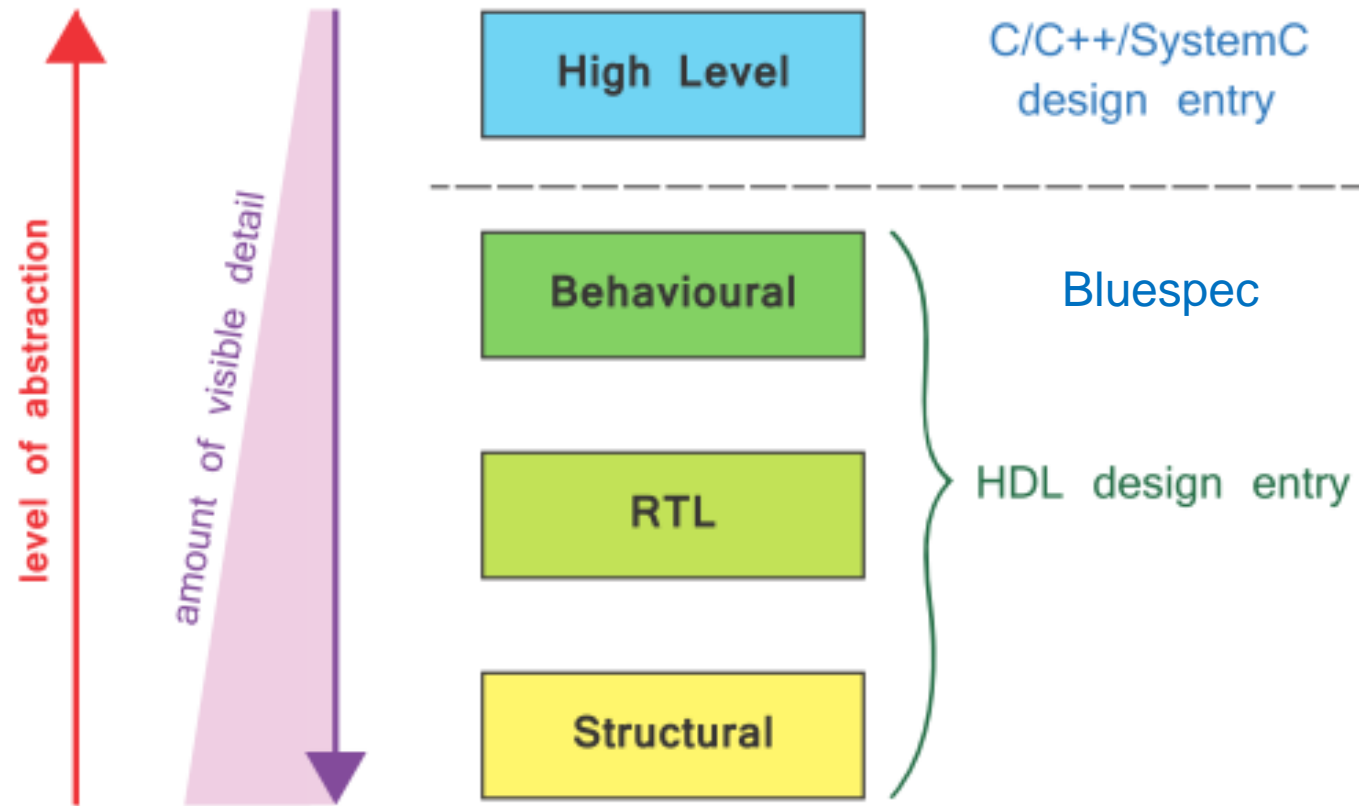
Xilinx UG 995

Steigerung der Entwurfsproduktivität

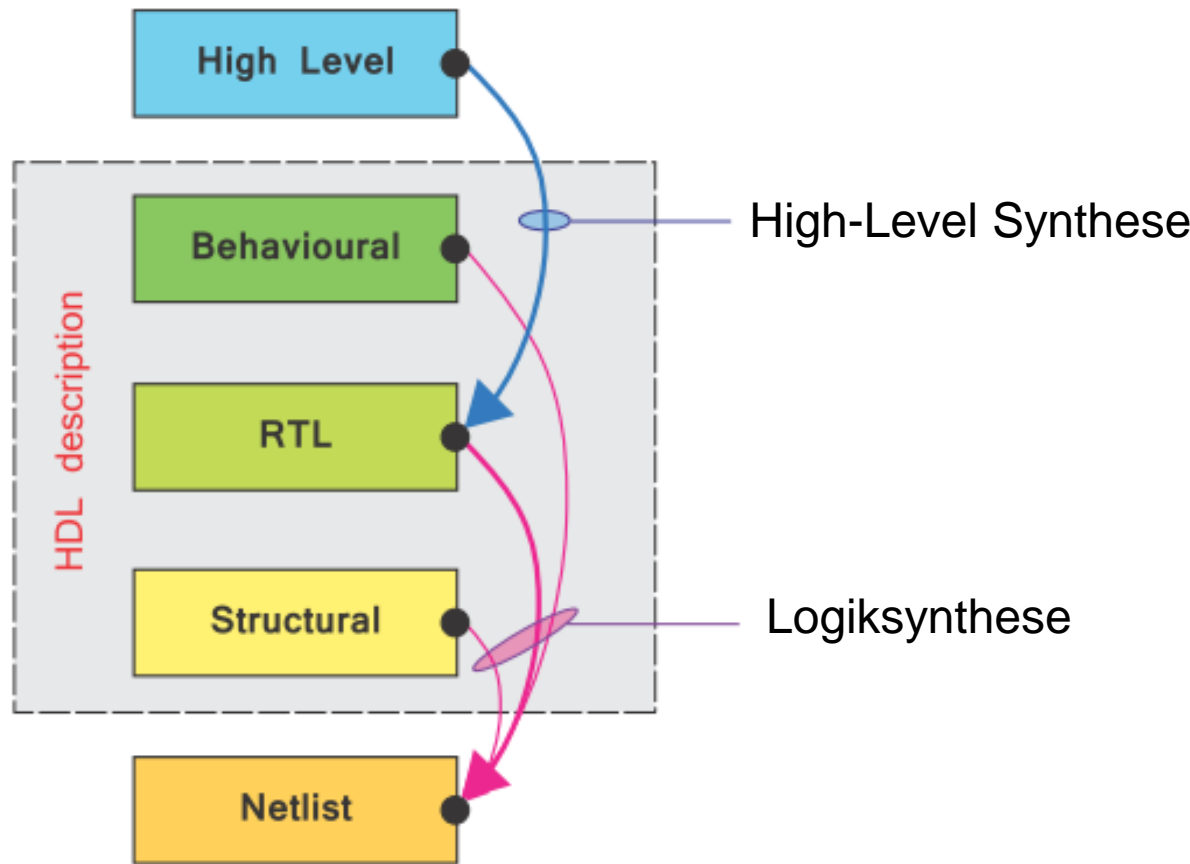


- rSoC ist extrem flexibel
- Aber Hardware-Entwurf immer noch deutlich aufwendiger als Software-Programmierung
 - ... mit Bluespec schon produktiver als mit Verilog
 - ... aber immer noch viel aufwendiger als in C oder Java
- Idee
 - Baue Übersetzer von Software-Hochsprache zu Hardware
 - Hochsprachensynthese
 - *High-Level Synthesis (HLS)*

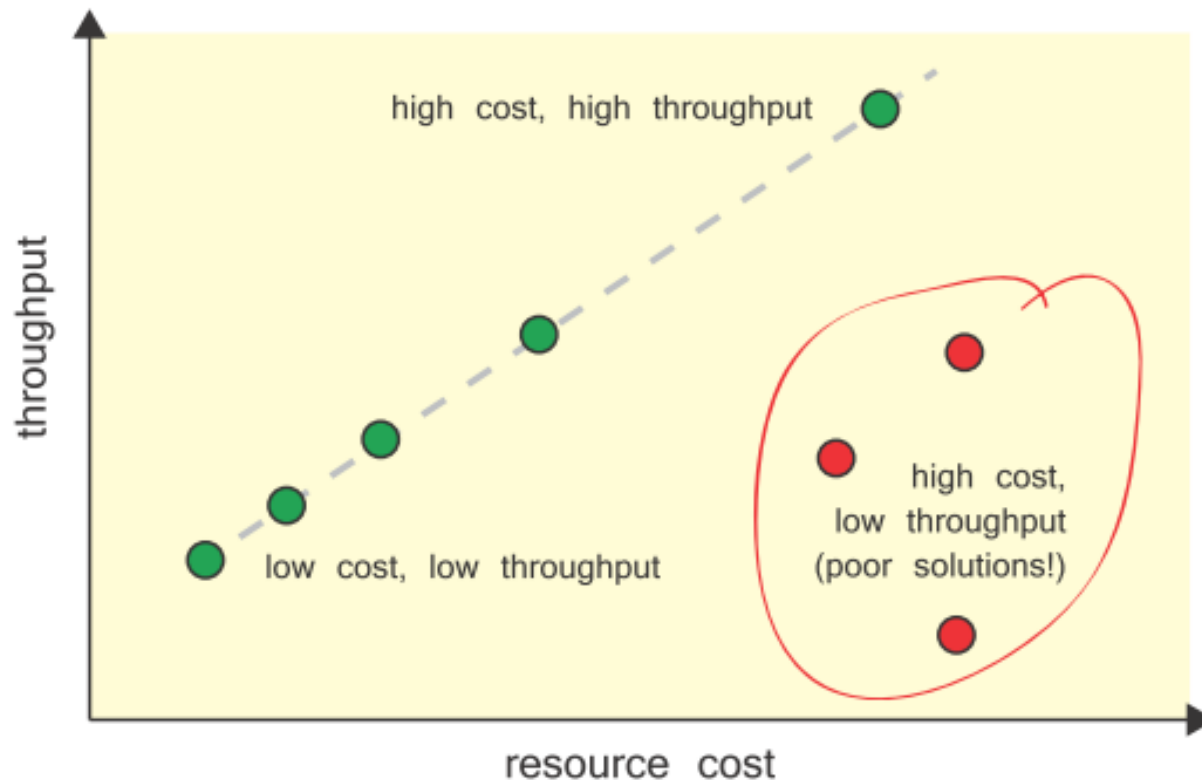
Abstraktionsebenen im HW-Entwurf



Übersetzungsschritte

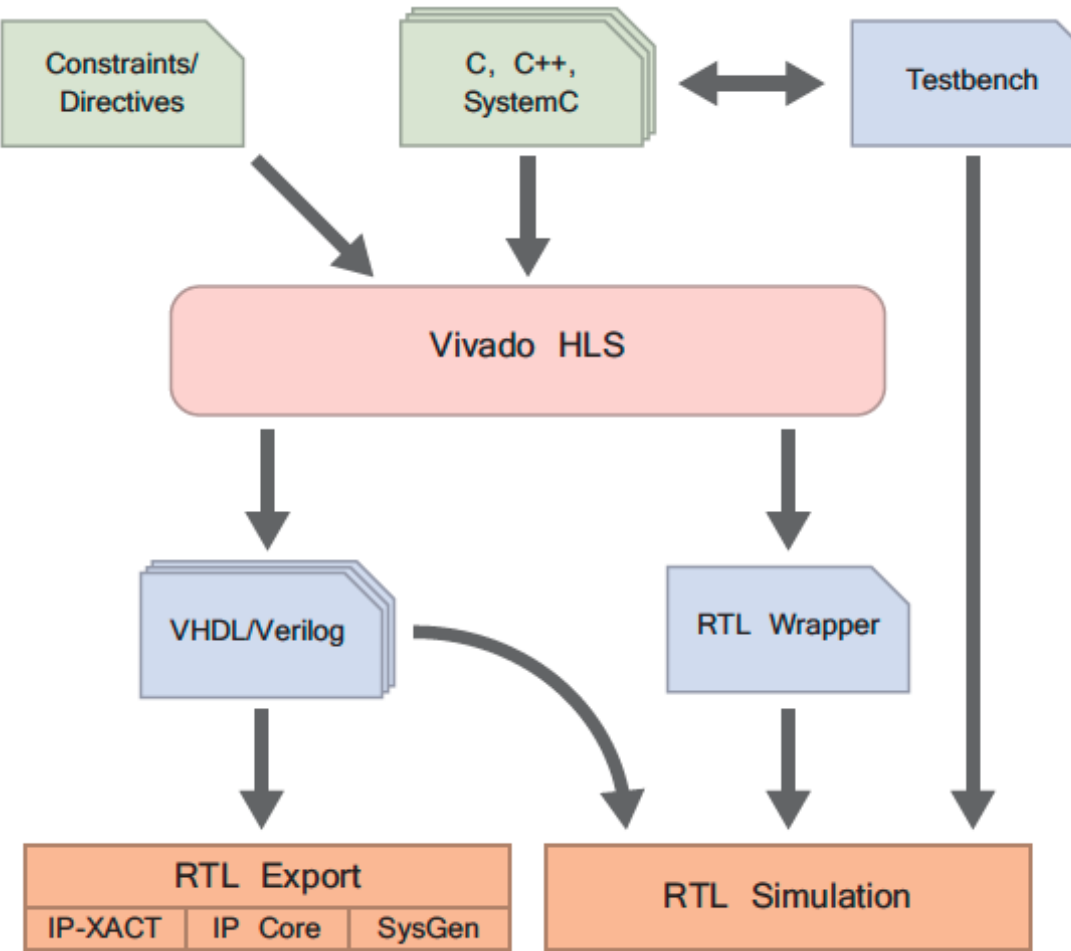


Automatische Entwurfsraumexploration

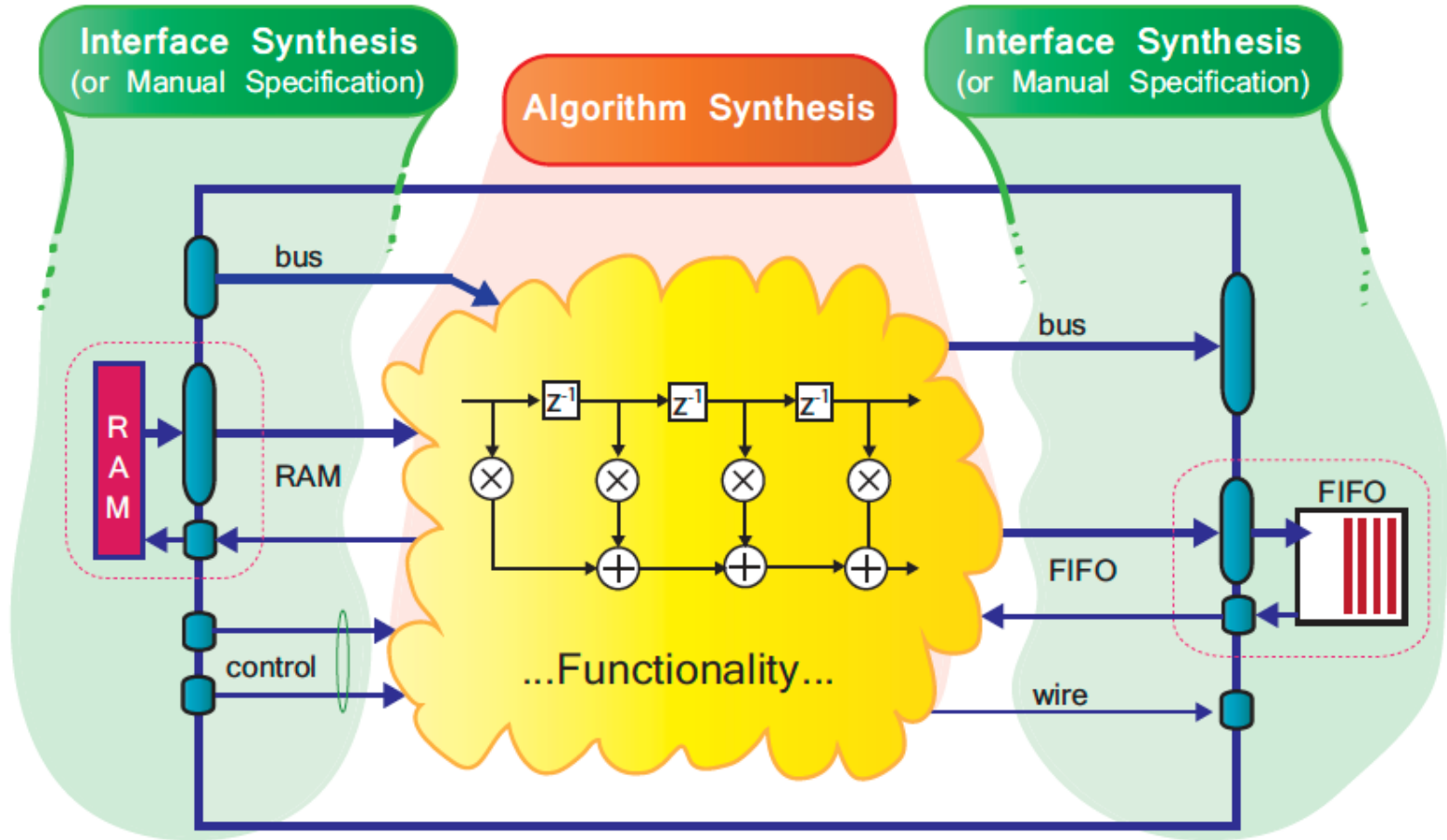


- HLS-Werkzeug probiert verschiedene Implementierungsalternativen aus
- Bietet eine an, die die Design Constraints (z.B. Fläche, Durchsatz) erfüllt

Vivado HLS Entwurfsfluß



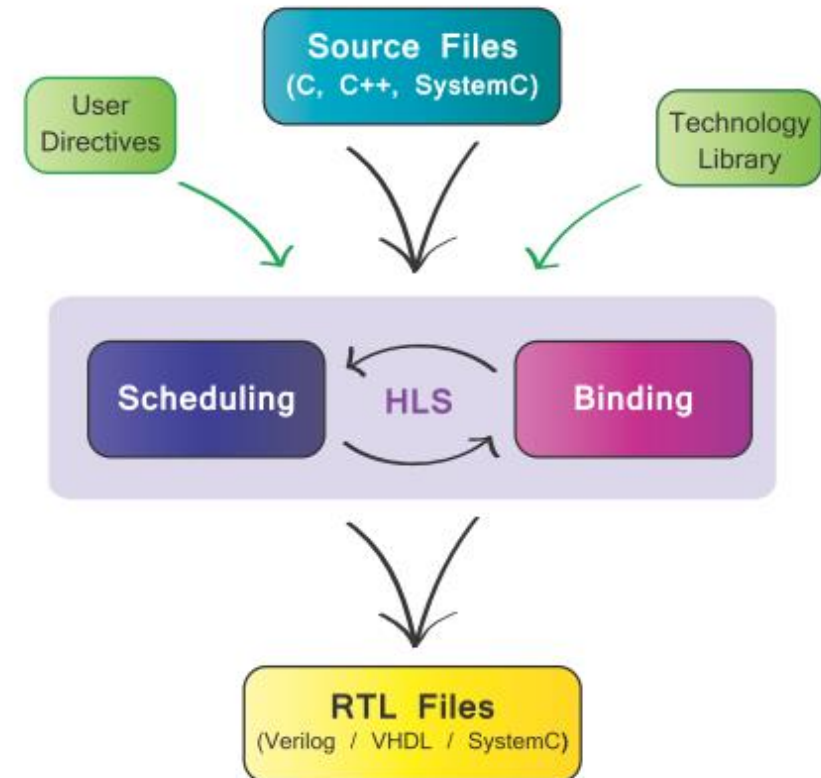
Teilaufgaben des HLS-Vorgehens



Teilaufgabe der Algorithmensynthese



- Ablaufplanung (scheduling)
 - Zuordnung von Operationen an Zeitschritte
- Bindung (binding)
 - Zuordnung von ablaufgeplanten Operationen an echte Hardware-Ressourcen



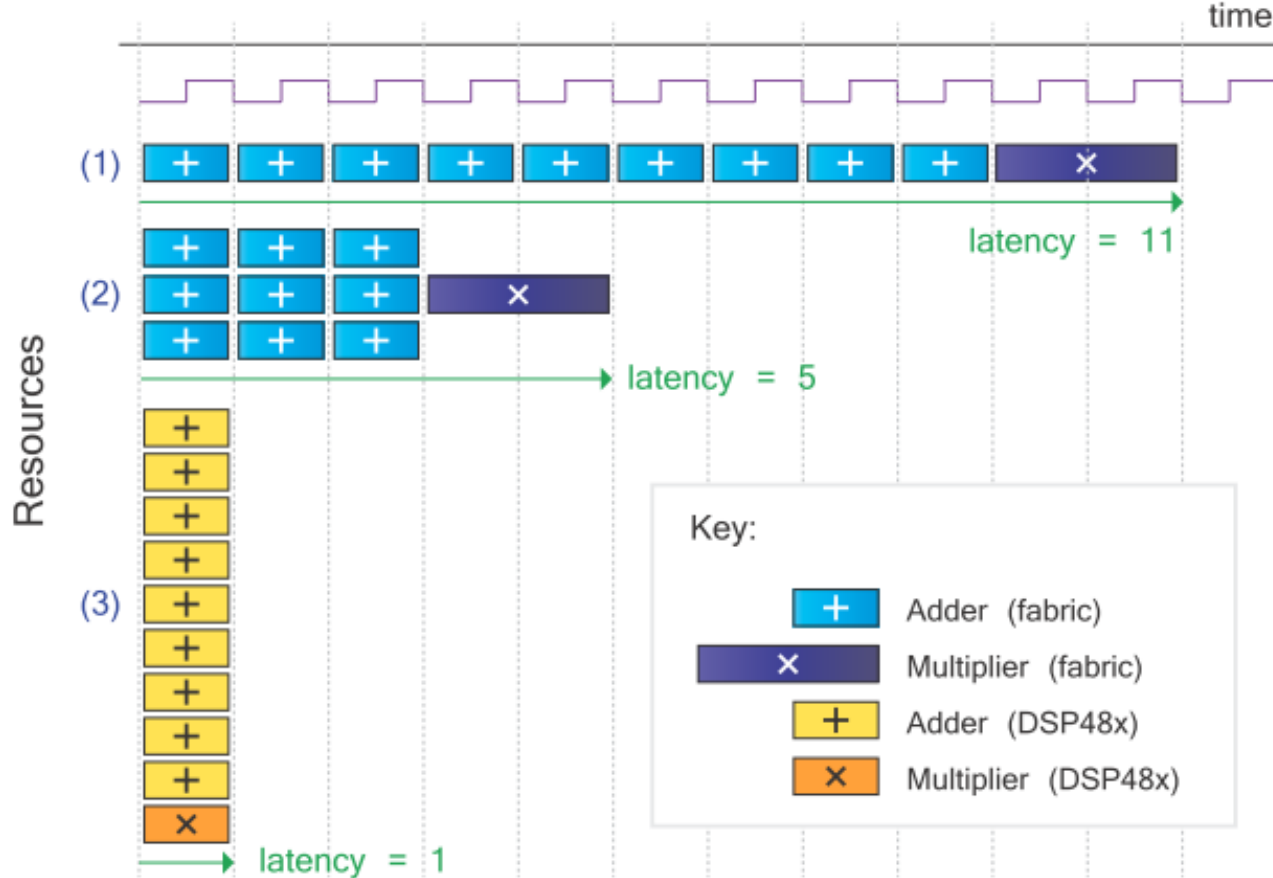
Beispiel



- Bestimme Durchschnitt d aus 10 Zahlen $n_1 \dots n_{10}$ als
 - $d = (n_1 + n_2 + n_3 + n_4 + n_5 + n_6 + n_7 + n_8 + n_9 + n_{10}) * 0.1$
- Einige Implementierungsvarianten
 - Verwende so wenig Ressourcen wie möglich und benutze diese wieder
 - *Resource Sharing*
 - Verwende mehr Hardware-Ressourcen und kaskadiere mehrere Operationen in einem Takt
 - *Operator Chaining* (hier kombiniert mit Resource Sharing)
 - Bedingung: Summe der Propagation Delays der Ressourcen ist kleiner als Taktpause
 - Verwende spezialisierte Hardware-Ressourcen (in der Regel schneller als allgemeine)
 - Aber davon deutlich weniger auf Chip vorhanden als allgemeine Logikblöcke

Vergleich der drei Ansätze

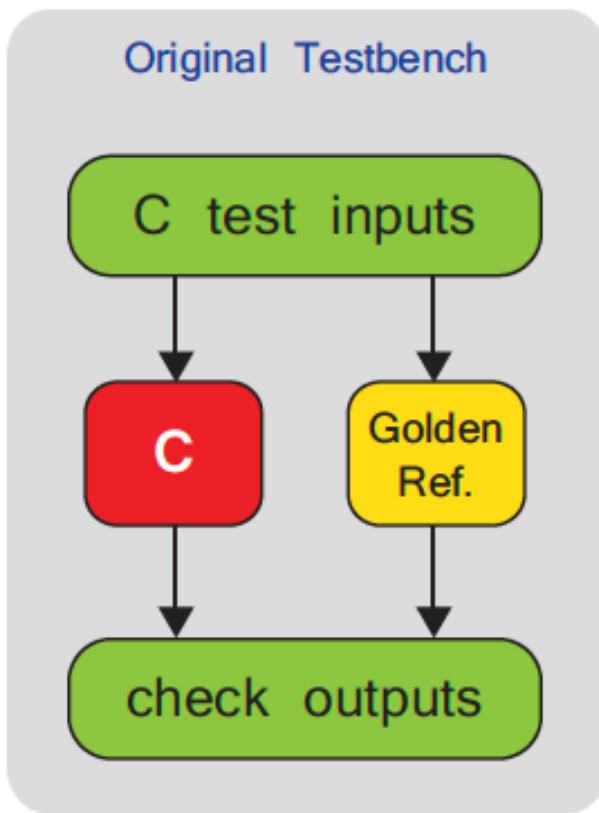
$$d = (n_1 + n_2 + n_3 + n_4 + n_5 + n_6 + n_7 + n_8 + n_9 + n_{10}) * 0.1$$



Verifikation der Ergebnisse

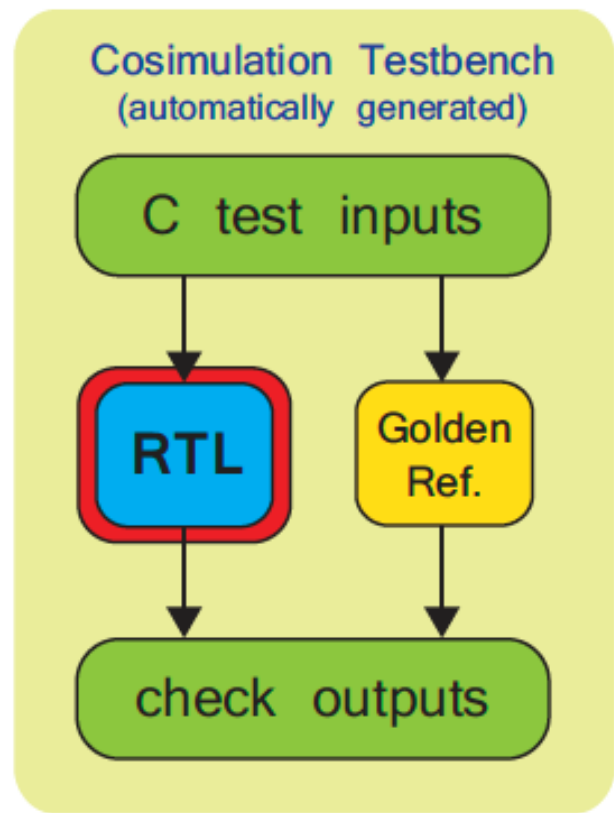


Functional Verification



Vivado HLS
C/RTL Cosimulation
Process

C/RTL Cosimulation



Interface-Synthese in HLS



- Software-Welt
 - C/C++ Konstrukte
 - ... wird durch HLS in Hardware übersetzt
- Restliche Hardware-Welt
 - Üblicherweise in RTL beschriebene Digital-Schaltungen (z.B. IP Blöcke)
- Verbindungen zwischen Hardware-Komponenten
 - Leitungen und Protokolle (z.B. AXI4, APB, Wishbone, Avalon, ...)
 - ... diese Dinge C/C++ aber nicht ausdrücken
- Wie die Schnittstellen beschreiben?
 - Erfordert üblicherweise Hinweise durch den Entwickler
 - ... aus denen dann automatisch die Schnittstellen erzeugt werden

Beispiel für Interface-Synthese

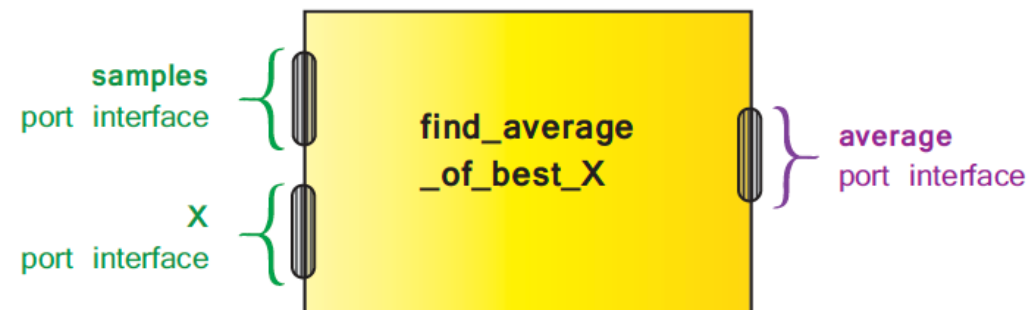


```
void find_average_of_best_X (int *average, int samples[8], int X)

{
    // body of function (statements, sub-function calls, etc.)

}
```

- Eingabe
 - Acht Messwerte **samples**
 - Ein Parameter **x**
- Ausgabe
 - Ein Ergebnis **average**



Annahmen für Interface-Synthese



- Parameter **x** ...
 - wird nur eingegeben
 - wird extern an den HLS-erzeugten Block für `find_average_of_best_X` angelegt
 - Liegt in jedem Fall rechtzeitig vor und auch während der Ausführung des Blocks an
- Messwerte **samples[8]** ...
 - werden nur eingegeben
 - werden in einem eigenen synchronen Speicher übergeben
 - Also **nicht** als acht 32b-breite Leitungen, an denen alle Messwerte parallel anliegen
 - Der Speicher braucht dann aber einen $\log_2 8 = 3$ bit breiten Addressbus zum Zugriff auf die Werte
 - Für die Steuerung des synchronen Speichers muss auch noch ein Clock Enable (CE) gesetzt sein
 - Sonst reagiert er nicht auf Anfragen
- Ausgabewert **average** ...
 - wird nur ausgegeben
 - Liegt aber erst nach variabler Zeit an (z.B. wegen Quicksort im Block)
 - Braucht also Indikator nach außen, dass Wert nun gültig ist

Hardware-Port für Parameter x

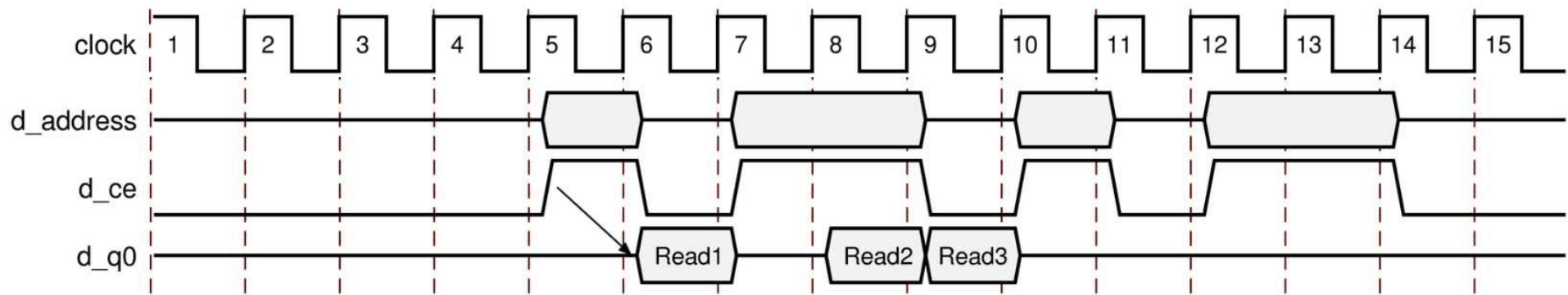


- Parameter x ...
 - wird nur eingegeben
 - wird extern an den HLS-erzeugten Block für find_average_of_best_X angelegt
 - Liegt in jedem Fall rechtzeitig vor und auch während der Ausführung des Blocks an
- Umsetzung in Vivado HLS durch Port vom Typ **ap_none**
 - Nur 32b breiter input Port für Wert von X
 - Keine weiteren Signale erforderlich
 - Timing **muß** aber der Annahme oben entsprechen
 - Keine Überprüfung auf Fehler!

Hardware-Port für Messwerte samples



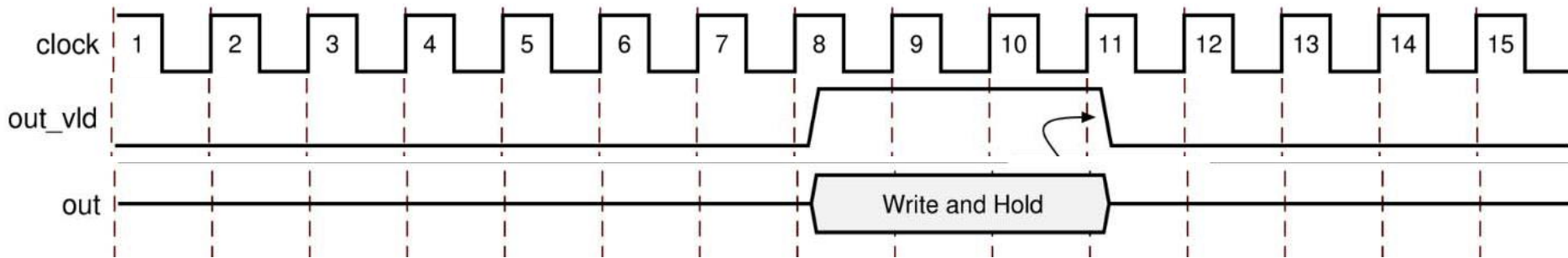
- Messwerte **samples [8]** ...
 - werden nur eingegeben
 - werden in einem eigenen synchronen Speicher übergeben
 - Also **nicht** als acht 32b-breite Leitungen, an denen alle Messwerte parallel anliegen
 - Der Speicher braucht dann aber einen $\log_2 8 = 3$ bit breiten Addressbus zum Zugriff auf die Werte
 - Für die Steuerung des synchronen Speichers muss auch noch ein Clock Enable (CE) gesetzt sein
 - Sonst reagiert er nicht auf Anfragen
- Umsetzung in Vivado HLS durch Port vom Typ **ap_memory**
 - Port tut so, als ob am anderen Ende ein synchroner Speicher mit konstanter Latenz liegt



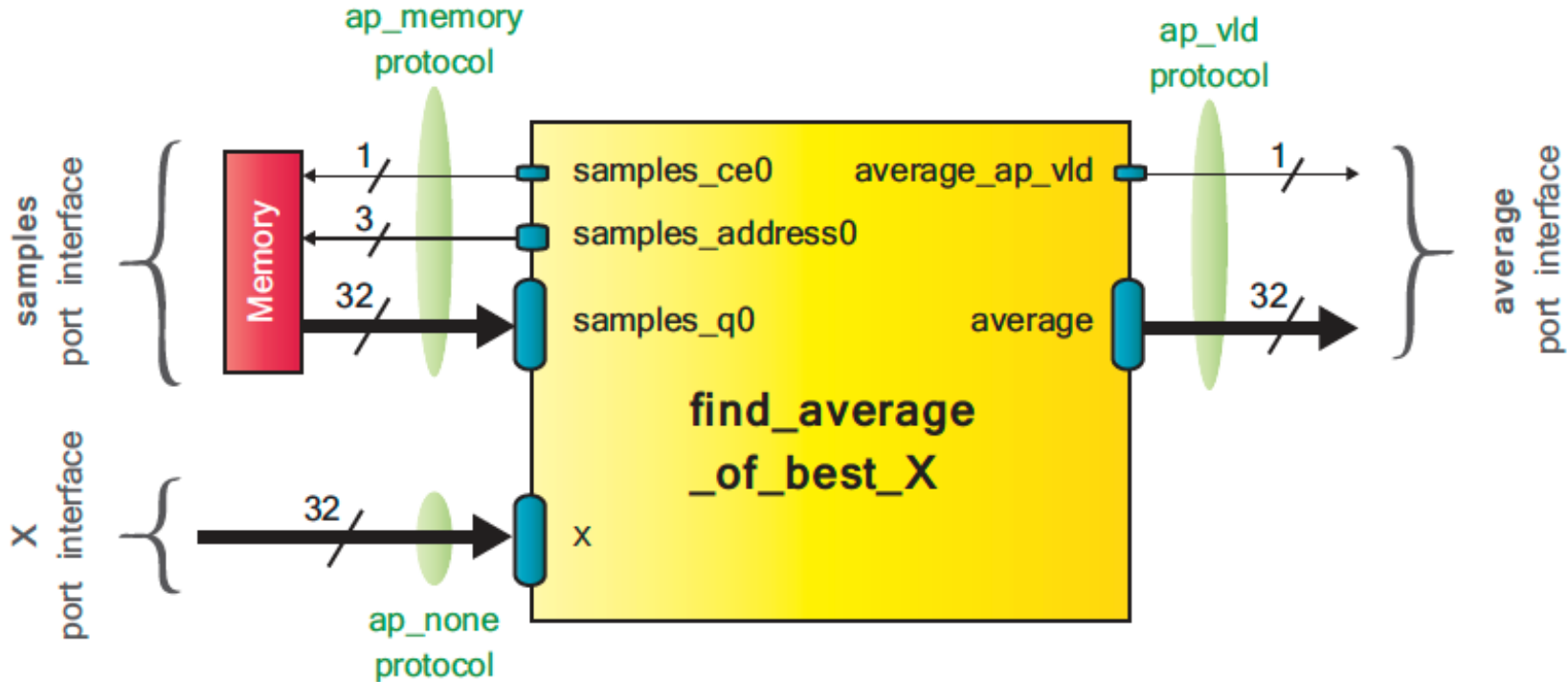
Hardware-Port für Ausgabewert **average**



- Ausgabewert **average** ...
 - wird nur ausgegeben
 - liegt aber erst nach variabler Zeit an (z.B. wegen Quicksort im Block)
 - Braucht also Indikator nach außen, dass Wert nun gültig ist
- Umsetzung durch Hardware-Port von Typ **ap_vld**
 - Hat ein Indikatorignal mit Suffix **_vld**, um die Präsenz eines gültigen Wertes anzugeben
 - Hier also zusammen
 - 32b output Port **average**
 - 1b output Port **average_vld**



Ports für formale Parameter in C



```
#pragma HLS INTERFACE ap_memory port=samples
#pragma HLS INTERFACE ap_none port=X
#pragma HLS INTERFACE ap_vld port=average
```

Mehr Details im Zynqbook in Abschnitt 15.4.2 und im Xilinx HLS User Guide (UG902)

Steuersignale auf Blockebene 1

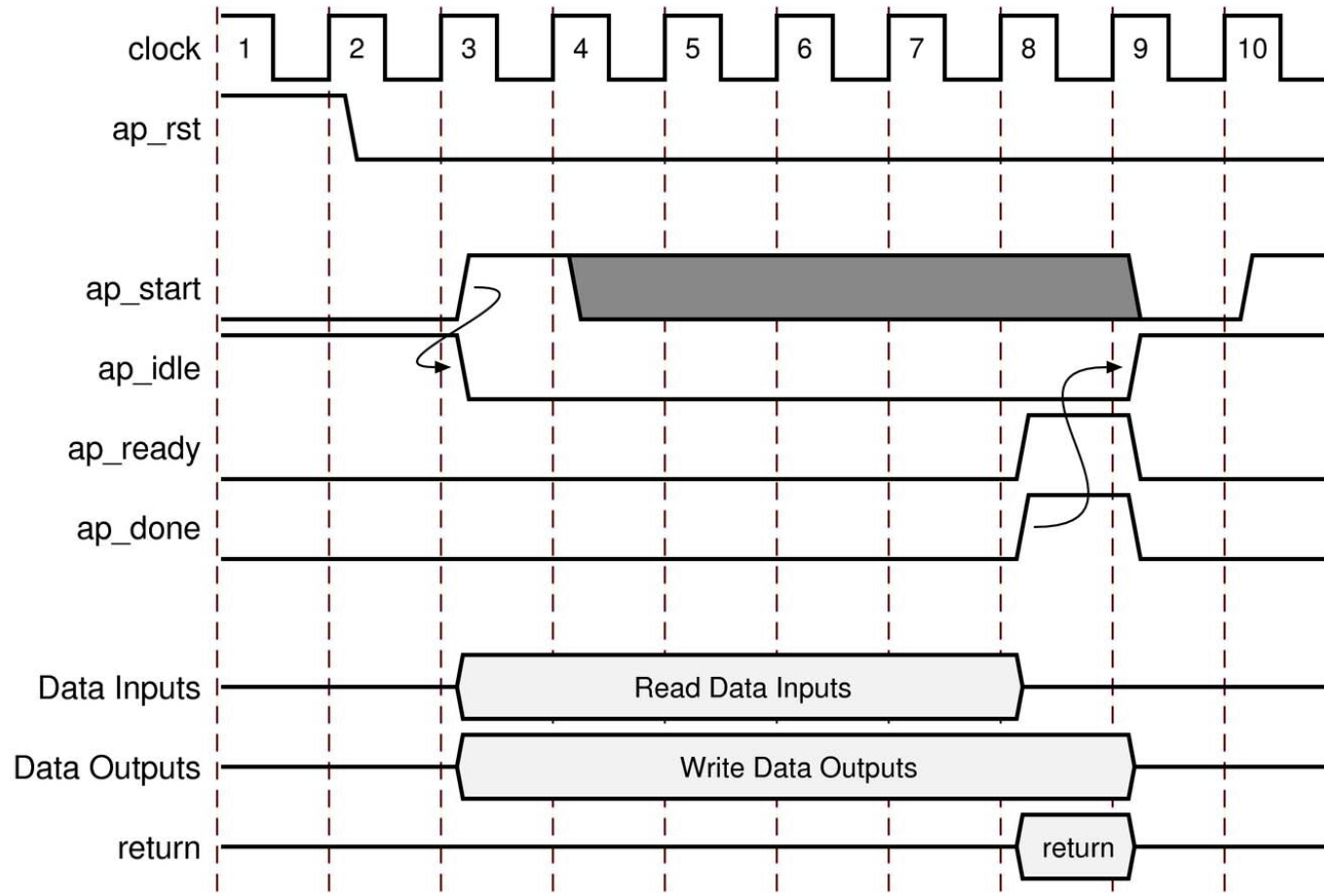


- Bisher nur diskutiert: Ports für Eingabe/Ausgabe-**Daten**
- Wie **Ausführung** des Blockes selber steuern?

- Befehle
 - Internen Zustand zurücksetzen (üblicherweise bei System Reset): **ap_rst**
 - Ausführung starten: **ap_start**

- Statusabfragen
 - Block ist nicht beschäftigt: **ap_idle**
 - Block ist fertig: **ap_done**
 - Block kann neue Daten akzeptieren **ap_ready**
 - Auch, wenn alte Rechnung noch läuft (Pipelining!)
 - Bei Blöcken ohne Pipelining ist **ap_ready** = **ap_done**

Steuersignale auf Blockebene 2



Gesamtschnittstelle des Beispielblocks

